



จุฬาลงกรณ์มหาวิทยาลัย
ทันวิจัย
กองทุนรัชดาภิเษกสมโภช

รายงานวิจัย

ผลของพีโนสໂທຣບິນຈາກຮ່າຍແລ້ວທີ່ມີຕ່ອງການຕ້ານການເພີ່ມ
ຈຳນວນຂອງເຊລລ໌ໄລ່ນໍມະເຮັງບາງໜິດແລະການໃໝ່ໄລໂປໂໂມ
ເພື່ອເພີ່ມປະສົງທີ່ການອອກຖົງຂອງພຶນໂທຣບິນ

โดย

ชุลี ยมภักดี
บุญเอก ยิ่งยงณรงค์กุล

มกราคม ๒๕๕๘



จุฬาลงกรณ์มหาวิทยาลัย
ทุนวิจัย
กองทุนรัชดาภิเษกสมโภช

รายงานวิจัย

ผลของพิโนสโตรบินจากกระชายเหลืองที่มีต่อการต้านการเพิ่ม
จำนวนของเซลล์ไลน์มะเร็งบางชนิดและการใช้ไลโปโซม
เพื่อเพิ่มประสิทธิภาพการออกฤทธิ์ของพิโนสโตรบิน

โดย

ชุลี ยมภักดี
บุญเอก ยิ่งยงณรงค์กุล

มกราคม ๒๕๕๘

สารบัญ

หน้า

สารบัญตาราง

iii

สารบัญรูปภาพ

iv

บทคัดย่อ

v

Abstract

vi

บทนำ

1

วัตถุประสงค์ของโครงการ

5

วัสดุและวิธีการดำเนินการวิจัย

1. แหล่งของพิโนสโตรบิน 5

2. การเพาะเลี้ยงเซลล์ไน้มะเร็งของมนุษย์ 5

3. การศึกษาผลของพิโนสโตรบินต่อการเพิ่มจำนวนของเซลล์ไน้มะเร็งของมนุษย์

โดยวิธี MTT viability assay 6

4. การเตรียมไลโปโซม การเตรียมและหาปริมาณพิโนสโตรบินที่บรรจุในไลโปโซม(LipoPino) 6

5. การเตรียมเซลล์เพื่อส่องด้วยเครื่อง Transmission Electron Microscope (TEM) 8

6. การศึกษาผลของพิโนสโตรบินที่มีต่อวัฏจักรการแบ่งเซลล์ 8

7. การคำนวณค่าทางสถิติ 9

ผลการทดลองและอภิปรายผลการทดลอง

1. ฤทธิ์การต้านการเพิ่มจำนวนของเซลล์ไลน์มะเร็งบางชนิดโดยพิโนสโตรบิน	9
2. อัตราส่วนที่เหมาะสมระหว่างพิโนสโตรบินต่อไลโปโซม	14
3. ลักษณะทางกายภาพของพิโนสโตรบินที่บรรจุในไลโปโซม	17
4. ผลการต้านการเพิ่มจำนวนของเซลล์ไลน์มะเร็งบางชนิดโดยพิโนสโตรบินที่บรรจุในไลโปโซม (LipoPino)	20
5. ผลของพิโนสโตรบินที่มีต่อรักษาระบบท่อสูบน้ำเสียของเซลล์มะเร็งบางชนิด	26
สรุปผลการทดลอง	35
เอกสารอ้างอิง	37
กิตติกรรมประกาศ	40
Output	40

สารบัญตาราง

ตารางที่	หน้า
1. ค่าความเข้มข้นของพิโนสโตรบินที่สามารถยับยั้งการเพิ่มจำนวนของเซลล์มะเร็งได้ร้อยละ 50 (IC_{50})	13
2. ค่า IC_{50} ของพิโนสโตรบินที่บรรจุในไลโปโซมที่อัดรากลุ่มต่างๆ ที่มีต่อเซลล์ไลน์มะเร็งกระเพาะอาหาร KATO III และ เซลล์ไลน์มะเร็งเม็ดเลือดขาว Jurkat	15
3. ค่า $IC50$ ของพิโนสโตรบินที่บรรจุในไลโปโซม (LipoPino) ที่มีต่อการต้านการเพิ่มจำนวนของเซลล์ไลน์มะเร็งชนิดต่างๆ	24
4. ความเป็นพิษของไลโปโซม ที่ความเข้มข้นเท่ากับใน LipoPino ที่ความเข้มข้น IC_{50} ที่มีต่อเซลล์ไลน์มะเร็งที่ไวต่อพิโนสโตรบิน	25
5. ผลของพิโนสโตรบินที่มีต่อจำนวนประชากรของเซลล์มะเร็ง Jurkat ในระยะต่างๆ	29
6. ผลของพิโนสโตรบินที่มีต่อจำนวนประชากรของเซลล์มะเร็ง KATOIII ในระยะต่างๆ	31
7. ผลของพิโนสโตรบินที่มีต่อจำนวนประชากรของเซลล์มะเร็ง BT474 ในระยะต่างๆ	33

สารบัญภาพ

ภาพที่

หน้า

1	โครงสร้างของส่วนประกอบสำหรับการเตรียมพิโนสโตรบินทีบราจูในไอลิปอไซม	7
2	ผลของพิโนสโตรบินต่อการอยู่รอดของเซลล์ไลน์มะเร็งชนิดต่างๆ	12
3	สักษณะของไอลิปอไซม (Free Liposome) และไอลิปอไซมที่มีการบรรจุพิโนสโตรบิน (LipoPino) ภายใต้ในเซลล์ของเซลล์ไลน์มะเร็งกระเพาะอาหาร KATOIII เมื่อส่องดูด้วยกล้องจุลทรรศน์ อิเล็กทรอนแบบส่องผ่าน	18
4	แบบจำลองของโครงสร้างพิโนสโตรบินในไอลิปอไซม	19
5	ผลของพิโนสโตรบินทีบราจูในไอลิปอไซมต่อการอยู่รอดของเซลล์ไลน์มะเร็งชนิดต่างๆ โดยวิธี MTT viability assay	23
6	ผลของพิโนสโตรบินที่มีต่อรูปแบบวัฏจักรการแบ่งเซลล์ของเซลล์มะเร็ง Jurkat	28
7	ผลของพิโนสโตรบินที่มีต่อรูปแบบวัฏจักรการแบ่งเซลล์ของเซลล์มะเร็ง KATOIII	30
8	ผลของพิโนสโตรบินที่มีต่อรูปแบบวัฏจักรการแบ่งเซลล์ของเซลล์มะเร็ง BT474	32

บทคัดย่อ

พิโนสโตรบิน เป็นพลาวนอนชนิดหนึ่งที่พบในกระชายเหลือง (*Boesenbergia pandurata*) ถูกค้นพบว่ามีฤทธิ์ยับยั้งวิถีการส่งสัญญาณของแคลเซียมที่มีผลต่อการควบคุมการเจริญของยีสต์ *Saccharomyces cerevisiae* ในการศึกษานี้มุ่งหมายที่จะศึกษาฤทธิ์ต้านการเจริญของพิโนสโตรบิน และพิโนสโตรบินที่บูรณาไปโลปอไซด์ (LipoPino) ในเซลล์ไลน์มะเร็งบางชนิด รวมทั้งศึกษาผลของพิโนสโตรบินที่มีต่อวิถีการแบ่งเซลล์ของเซลล์ไลน์มะเร็งที่ไวต่อพิโนสโตรบิน โดยได้ศึกษาฤทธิ์ของพิโนสโตรบินที่มีต่อการต้านการเจริญของเซลล์มะเร็งเม็ดเลือดขาว Jurkat เซลล์มะเร็งกระเพาะอาหาร KATOIII เซลล์มะเร็งลำไส้ SW620 เซลล์มะเร็งตับ HepG2 เซลล์มะเร็งปากมดลูก Ca-Ski และเซลล์มะเร็งเต้านม BT474 พบร่วมกับเซลล์มะเร็งกระเพาะอาหาร KATOIII มีความไวต่อพิโนสโตรบินที่สุด ที่ค่า IC_{50} 24.7 ± 4.5 ไมโครโมลาร์ กรณีใช้ LipoPino สามารถเพิ่มฤทธิ์ต้านการเจริญของเซลล์มะเร็งของพิโนสโตรบินโดยมีค่า IC_{50} อยู่ในช่วง $2.6 - 9.3$ ไมโครโมลาร์ (ยกเว้นในเซลล์มะเร็ง BT474 and SW620 ที่พบร่วมกับโลปอไซด์) โดยโลปอไซด์ช่วยเพิ่มประสิทธิภาพของพิโนสโตรบินได้ $2.7 - >20.9$ เท่าเมื่อเทียบกับฤทธิ์ของการใช้พิโนสโตรบินอย่างเดียว ในการศึกษาผลของพิโนสโตรบินที่มีต่อวิถีการแบ่งเซลล์โดยวิธีFlow cytometry พบร่วมกับเซลล์มะเร็งตัวอย่าง BT474 มีประชากรเซลล์ในระยะ sub G1 สูงกว่าอย่างมีนัยสำคัญจากกลุ่มควบคุมที่ไม่มีพิโนสโตรบิน และพบร่วมกับกลุ่มควบคุม ผลกระทบจากการศึกษานี้แนะนำว่าพิโนสโตรบิน สามารถถูกใช้เป็นสารต้านการเจริญในเซลล์มะเร็งหลายชนิดได้ และโลปอไซด์สามารถนำมาใช้เป็นสิ่งนำทางพิโนสโตรบินเพื่อเพิ่มประสิทธิภาพการออกฤทธิ์ในเซลล์มะเร็งบางชนิดได้

Abstract

Pinostrobin, a flavanone from *Boesenbergia pandurata*, was previously identified as an inhibitor of Ca^{2+} -signal mediated growth regulation in *Saccharomyces cerevisiae*. This study aimed to investigate the anti-proliferative activity of pinostrobin and the liposome-encapsulated pinostrobin (LipoPino) in some human cancer cell lines, as well as determine the effect of pinostrobin on cell cycle progression. Cytotoxicity of free- and liposome encapsulated-pinostrobin against Jurkat, KATOIII, SW620, HepG2, Ca-Ski and BT474 cell lines was assessed. Among the tested cell lines, KATOIII cells were the most sensitive to pinostrobin. The use of liposomal pinostrobin showed significantly enhance the cytotoxic effect of pinostrobin in all cell lines studied (except for BT474 and SW620 which showed highly toxic to liposome) with IC_{50} values ranging from 2.6 - 9.3 μM exhibited 2.7 - >20.9 times higher cytotoxic effect than those of the free form. A flow cytometric analysis revealed that 2x IC_{50} concentration of pinotrobin treated cells caused significantly increase in sub G1 population at 96 h of Jurkat T cells and BT474 while caused G2/M cell cycle arrest in KATO III cells. The results suggested that pinostrobin should be a potential candidate for various cancer therapies and liposome could be a vehicle of choice to improve the efficacy of pinostrobin.

บทนำ

มะเร็งเป็นโรคที่เกิดจากความผิดปกติของเซลล์หนึ่งเซลล์ตั้งต้น การเปลี่ยนแปลงนี้อาจเป็นผลมาจากการปัจจัยภายนอกร่างกาย เช่น รังสี มะพิษ หรือมาจากพันธุกรรม โดยความผิดปกติของเซลล์ที่เป็นเซลล์มะเร็งคือเจริญโดยไม่สามารถควบคุมได้ มะเร็งจึงเป็นโรคร้ายแรงที่เป็นสาเหตุการตายอันดับต้น ๆ ของการตายของประชากรโลก มีรายงานการตายถึง 8.2 ล้านคนจากประชากรทั่วโลกโดยมะเร็งในปี ค.ศ. 2012 องค์การอนามัยโลกยังได้คาดการณ์ว่าอุบัติการณ์การเกิดของโรคมะเร็งจะเพิ่มสูงจาก 14 ล้านคน ในปี ค.ศ. 2012 เป็น 22 ล้านคน ในอีก 20 ปีข้างหน้า (<http://www.who.int/cancer/about/facts/>)

ผลิตภัณฑ์จากธรรมชาติเป็นแหล่งที่ถูกนำมาพัฒนาเป็นยาวยาโรคมากที่สุด พบว่ากว่า 80% ของยา มาจากธรรมชาติ หรือมาจากสารออกฤทธิ์จากธรรมชาติ (Sneader, 1996) เกือบครึ่งหนึ่งของยาที่ผ่านการรับรองโดยองค์กรอาหารและยาของสหรัฐอเมริกาตั้งแต่ปี ค.ศ. 1994 ล้วนมาจากผลิตภัณฑ์ธรรมชาติ (Newman และ Cragg, 2007) จึงเป็นที่ยอมรับกันว่าความหลากหลายของโครงสร้างไม่เลกุลของสารในผลิตภัณฑ์ธรรมชาติซึ่งมีอยู่มาก สามารถใช้เป็นโครงสร้างหลักเพื่อการพัฒนาเป็นยาวยาโรคใหม่ ๆ ที่มีประสิทธิภาพมากขึ้นต่อไป ปัจจุบันมีรายงานมากมายเกี่ยวกับการศึกษาสารออกฤทธิ์ในผลิตภัณฑ์จากธรรมชาติเพื่อการป้องกันและการรักษาโรคมะเร็ง ได้แก่ β -carotene, curcumin, epigallocatechin gallate, genistein, resveratrol, gingerol, and capsaicin เป็นต้น (Bachrach และ Wang, 2002; Sastry, 2004; Suresh และคณะ, 2009; Lee และคณะ, 2011)

สารออกฤทธิ์ทางชีวภาพโดยเฉพาะอย่างยิ่งที่มาจากธรรมชาติ มักเป็นสารที่มีข้อต่อ จึงมีผลต่อการละลายในตัวทำละลายที่มีข้อสูง เช่นในอาหารเลี้ยงเชื้อ ทำให้ละลายได้ค่อนข้างต่อ จึงเป็นอุปสรรคต่อการศึกษาฤทธิ์ทางชีวภาพ จำเป็นต้องมีระบบนำส่งสารออกฤทธิ์เข้าเซลล์ที่ดี ໄลโบโนมเป็นอีกทางเลือกหนึ่งที่ได้รับความนิยมในการใช้นำส่งสารออกฤทธิ์เข้าเซลล์

ໄລໂປໂໂນປະກອບດ້ວຍຫັນໄຂມັນ 2 ຫັນ (lipid bilayer) ທີ່ສາມາດຫຼຸມສາວທີ່ມີປະຈຸໄວ້ດ້ານໃນ ໄລໂປໂໂນນິນິດໄຂມັນປະຈຸບາກ (cationic lipids) ເປັນ non-viral vector ຂົນດໍ່ນີ້ທີ່ໃຊ້ໃນການພາຍືນເຂົ້າສູ່ເຊົ່າ ໄລໂປໂໂນມີວິທີກາເຕີຣີມໄມ່ຢູ່ຢາກ ມີປະສິທິກາພາໃນການນຳພາດີເອັນເອ ອີ່ອຍາ ເຂົ້າສູ່ເຊົ່າໄດ້ສູງ ມີຄວາມເສັ່ຍຮ ແລະໄມ່ມີຜລ້າງເຄີຍ ອີ່ອມີຄວາມເປັນພິ່ນກັບເຊົ່າ ແລະສາມາດນຳໄປປະຢຸກຕີໃຊ້ໃນສິ່ງມີສິວົດອື່ນໄດ້ ຈຶ່ງມີ ການນຳໄປປະຢຸກຕີໃຊ້ໃນການນຳສັງຍິນໃນການຮັກໜາໂຮຄທາງພັນຊຸກຮົມ (Chona ແລະ Cullis, 1998 ; Torchilin, 2005) ເປັນຕົ້ນ ໄຂມັນປະຈຸບາກປະກອບໄປດ້ວຍສາມສ່ວນສຳຄັນຄືອ ສ່ວນຫັວປະຈຸບາກ (cationic head) ສ່ວນຫາງທີ່ໄມ່ຂອບນໍ້າ (hydrophobic tail) ແລະ ສ່ວນຕົວເຊື່ອມ (linker) ສ່ວນຫັວປະຈຸບາກມີໄດ້ຕັ້ງແຕ່ປະຈຸເດີຍຈຸນລຶ່ງລາຍປະຈຸ ສ່ວນມາກສ່ວນຫັວປະກອບດ້ວຍເອມືນໝືນດຳຕ່າງ ຊ ອີ່ອກັນດີນ (guanidine) ສໍາຮັບສ່ວນຫາງທີ່ໄມ່ຂອບນໍ້າ ປະກອບດ້ວຍສອງກຸມໆລັກຄືອ ກຸມໆ long-chain fatty acid ຈຳນວນໜີ້ໜີ້ອີ່ອສອງສາຍໃຫ້ແລກລຸ່ມສເຕີຍຮອຍດ໌ ເຊັ່ນ cholesterol ອີ່ອ bile acid ສໍາຮັບສ່ວນຕົວ ເຊື່ອມ (linker) ເປັນພັນຮະເຄມີ່ທີ່ເຊື່ອມດ່ອຍກວ່າສ່ວນຫັວປະຈຸບາກແລະສ່ວນຫາງທີ່ໄມ່ຂອບນໍ້າ ໂດຍພັນຮະ ດັ່ງກ່າວເປັນໄດ້ທັງພັນຮະທີ່ຢ່ອຍສລາຍໄດ້ໆງ່າຍ ເຊັ່ນ ພັນຮະເອສເທອຣ໌ ແລະ ເອມີດ ອີ່ອພັນຮະທີ່ຢ່ອຍສລາຍໄດ້ໆຍາກ ເຊັ່ນ ພັນຮະອີເເຫຼອຣ໌ (Zhu ແລະ Mahato, 2010)

ໄຂມັນປະຈຸບາກທີ່ມີ cholesterol ເປັນສ່ວນໄມ່ມີຂໍ້າ ເປັນສາກລຸ່ມໜີ້ທີ່ເປັນທີ່ນິຍມໃຫ້ ເນື່ອຈາກມີປະສິທິກາພາໃນການເຂົ້າເຊົ່າໄດ້ ແລະມີຄວາມເປັນພິ່ນຕ່ອເຊົ່າ ຕໍ່າ (Apiratikul ແລະຄອນະ, 2013) ຮາຍງານໂດຍ Mehta ແລະຄອນະ (1987) ແສດການເພີ່ມປະສິທິກາພາຍາ Nystatin ໃນການຮັກໜາໂຮຄ Candidiasis ໂດຍ ແກ່ນິກ liposome incorporation ທຳໄໝປະສິທິກາພາການຝ່າເຂົ້ອຈຳກ່າວດີ້ຂຶ້ນໂດຍມີຄ່າ Minimal Inhibitory Concentration (MIC) ລດລົງກວ່າເດີມ ແລະສັງຜລກະທບຕ່ອກາເຕັກຂອງເນັດເລື້ອດແດງລດລົງກວ່າການໃໝ່ຍາ Nystatin ທີ່ໄມ່ມີການດັດແປລັງດ້ວຍເທກິນິກ liposome incorporation Etten ແລະຄອນະ (2000) ຄັ້ນພບການເພີ່ມປະສິທິກາພາຍາ Amphotericin B-desooxycholate (AMB-DOC) ໂດຍການໃໝ່ຄວາມຮ້ອນ

70°C เป็นเวลา 20 นาที Heat Amphotericin B-desooxycholate (hAMB-DOC) และชนิดที่เพิ่มการปั่นเหวี่ยง หลังจากการให้ความร้อน Heat and centrifugation Amphotericin B-desooxycholate (hcAMB-DOC) และเมื่อเปรียบเทียบประสิทธิภาพฤทธิ์การต้านเชื้อรา พบว่า hAMB-DOC มีฤทธิ์ในการต้านการเจริญของเชื้อราเพิ่มขึ้นจากการใช้ยา AMB-DOC และทั้ง hAMB-DOC และ hcAMB-DOC มีความเป็นพิษลดลงโดยศึกษาการแตกของเซลล์เม็ดเลือดแดง Liolios และคณะ (2009) ทำการเพิ่มประสิทธิภาพสาร Carvasol โดยการบรรจุในไลโปโซม และทำการศึกษาความสามารถในการต้านเชื้อจุลทรรศ์ทั้งก่อนและหลังการบรรจุในไลโปโซม พบว่าการบรรจุสารดังกล่าวในไลโปโซมช่วยเพิ่มประสิทธิภาพในการยับยั้งการเจริญของจุลทรรศ์ Huang และคณะ (2011) ทำการทดลองเพิ่มประสิทธิภาพของกรดโอลอิกด้วยการบรรจุในไลโปโซม (LipoOA) และศึกษาฤทธิ์ต้านจุลชีพโดยทำการทดสอบกับเชื้อดีออยา methicillin-resistant *S. aureus* (MRSA) โดยการติดตามปริมาณการเรืองแสงที่เพิ่มขึ้นของสารเรืองแสง rhodamine ที่ติดคลากบน LipoOA (LipoOA-RhB) พบว่าไลโปโซมสามารถเพิ่มประสิทธิภาพการนำยาเข้าสู่เซลล์ได้ดีขึ้น ผลการศึกษาหาค่า Minimal Bactericidal Concentration (MBC) พบว่าได้ค่า MBC ของ LipoOA น้อยกว่าค่า MBC ของ กรดโอลอิกอย่างเดียวถึง 12 เท่า Dass (2003) ใช้ไลโปโซมในการเพิ่มประสิทธิภาพการนำยาเข้าของยาเพื่อต้านการสร้างเส้นเลือดในเนื้องอก และ Apiratikul และคณะ (2013) ได้ศึกษาการเพิ่มประสิทธิภาพของสาร curcumin โดยการบรรจุในไลโปโซม และศึกษาฤทธิ์ในการต้านการเจริญเติบโตของเซลล์มะเร็ง Wang และคณะ (2012) ได้ทำการทดสอบสาร curcumin ที่บรรจุในไลโปโซม พบว่ามีฤทธิ์เพิ่มมากขึ้นในการต้านการเจริญของมะเร็งเยื่อบุขนิด MS1 โดยมีกลไกต้านการสร้างเส้นเลือดที่ไปหล่อเลี้ยงให้เซลล์เกิดการเจริญ Li และคณะ (2007) ได้ทดสอบฤทธิ์ของสาร curcumin ที่บรรจุในไลโปโซม เทียบกับสาร oxaliplatin ซึ่งเป็นยาที่ใช้ในการต้านเซลล์มะเร็งพบว่า curcumin ที่บรรจุในไลโปโซม มีฤทธิ์ในการต้านเซลล์มะเร็งลำไส้ชนิด Colo205 ได้ดีกว่า oxaliplatin

ในงานวิจัยก่อนหน้าก่อนของคณะผู้วิจัย ได้ใช้ระบบคัดกรอง $\Delta zds1$ proliferation assay เพื่อค้นหาสารออกฤทธิ์บันยั้งวิถีการส่งสัญญาณแคลตซีเยนในยีสต์ ซึ่งเป็นระบบที่พัฒนาโดย (Shitamukai และคณะ 2000) เพื่อคัดกรองสารสกัดอย่างหยาบจากพืชสมุนไพรไทย พบสารสกัดอย่างหยาบจากการขยายเหลือง *Boesenbergia pandurata* เป็นหนึ่งในสารสกัดที่ให้ผลบวกแรง ต่อมาคณะผู้วิจัยได้ใช้ $\Delta zds1$ proliferation assay เพื่อแยกเป็นส่วนย่อยและติดตามฤทธิ์ดังกล่าวจนได้สารบิสุทธิ์ หนึ่งในสารบิสุทธิ์ที่ได้คือ พิโนสโตรบิน หรือ 5-hydroxy-7-methoxyflavanone ซึ่งได้แสดงฤทธิ์บันยั้งวิถีการส่งสัญญาณแคลตซีเยนในยีสต์ (Wangkangwan และคณะ (2009))

กระชายเหลือง (*B. pandurata*) เป็นพืชในวงศ์ Zingiberaceae ส่วนของรากหรือเหง้า ได้ถูกนำมาใช้เป็นส่วนประกอบในอาหารไทยบางชนิด นอกจากนี้ ตามภูมิปัญญาไทย ได้มีการใช้ในการรักษาโรคบางชนิด เช่น ใช้พอกรักษาแผล แก้ห้องอืดเฟ้อ เป็นต้น

ก่อนหน้านี้ได้มีรายงานฤทธิ์ต้านการเพิ่มจำนวนของเซลล์ไลน์มะเร็งเม็ดเลือดขาวชนิด โดยโนสโตรบิน ดังนี้ Smolarz และคณะ (2006) ได้รายงานว่า พิโนสโตรบินจาก *Polygonum lapathifolium* มีฤทธิ์ต้านการเพิ่มจำนวนของเซลล์มะเร็งเม็ดเลือดขาวชนิด Jurkat และ HL-60 และทำให้เซลล์มีการตายแบบอะพอพโธซิส โดยมีการตายเพิ่มขึ้นตามความเข้มข้นที่เพิ่มขึ้นของพิโนสโตรบิน โดยพบร่วมที่ 10 นาโนโมลาร์ ทำให้เซลล์ตายร้อยละ 25-60 ที่ 100 นาโนโมลาร์ ทำให้เซลล์ตาย ร้อยละ 45-76 และที่ 1 ไมโครโมลาร์ ทำให้เซลล์ตายร้อยละ 70-88 ตามลำดับ เมื่อตรวจด้วยวิธีย้อมเซลล์โดยสี Annexin V Ashidi และคณะ (2007) ทดสอบฤทธิ์ของพิโนสโตรบินในมะเร็งเม็ดเลือดขาวชนิด CCRF-CEM พบร่วมพิโนสโตรบินมีฤทธิ์ต้านการแบ่งตัวของมะเร็งเม็ดเลือดขาวชนิดดังกล่าว และยังทำให้เกิด reactive oxygen species (ROS) ที่ไปทำลายเยื่อหุ้มไมโนไซต์เดรียที่เป็นปัจจัยสำคัญในการเหนี่ยวนำการตายแบบอะพอพโธซิส ยัง

ไม่มีรายงานถูกห้ามการเพิ่มจำนวนในเซลล์ไลน์มะเร็งอื่น ๆ นอกจากนี้จากการมะเร็งเม็ดเลือดขาวสองชนิด ดังกล่าว แต่อย่างใด

เนื่องจากพิโนสโตรบินมีความสามารถในการละลายได้ค่อนข้างต่ำในอาหารเลี้ยงเซลล์ซึ่งมีข้อสูง ทำให้ เป็นข้อจำกัดในการศึกษาถูกห้ามทางชีวภาพของพิโนสโตรบิน งานวิจัยนี้จึงมุ่งหมายที่จะศึกษาถูกห้ามการเจริญ ของเซลล์ไลน์มะเร็งชนิดต่าง ๆ ของพิโนสโตรบิน และศึกษาผลของไลโปโซมชนิดไขมันประจุบวกในการช่วย เพิ่มประสิทธิภาพการออกฤทธิ์ของพิโนสโตรบินในเซลล์ไลน์มะเร็งบางชนิด

วัตถุประสงค์ของโครงการ

- ศึกษาผลของพิโนสโตรบินที่มีต่อการต้านการเจริญของเซลล์ไลน์มะเร็งบางชนิด
- ศึกษาผลของไลโปโซมชนิดไขมันประจุบวกที่บรรจุพิโนสโตรบินที่มีต่อเซลล์ไลน์มะเร็งที่ถูกต้าน การเจริญจากข้อ 1

วัสดุและวิธีการดำเนินการวิจัย

1. แหล่งของพิโนสโตรบิน

พิโนสโตรบินบริสุทธิ์ที่แยกได้จากกระชายเหลือง มีการทำให้บริสุทธิ์ พิสูจน์โดยสร้างและถูก ยับยั้งวิถีการส่งสัญญาณแคลเซียม ดังรายงานใน Wangkangwan และคณะ (2009)

2. การเพาะเลี้ยงเซลล์ไลน์มะเร็งของมนุษย์

ทำการเลี้ยงเซลล์ไลน์มะเร็งทั้ง 6 ชนิด ได้แก่ Jurkat (มะเร็งเม็ดเลือดขาว) HepG2 (มะเร็งตับ) SW620 (มะเร็งลำไส้ใหญ่) KATO III (มะเร็งกระเพาะอาหาร) BT474 (มะเร็งเต้านม) และ Ca-Ski (มะเร็ง ปากมดลูก) ด้วยอาหารเลี้ยงเซลล์ RPMI ที่มี fetal bovine serum (FBS) ความเข้มข้นร้อยละ 10 ของ

HEPES ความเข้มข้นร้อยละ 1 ของโซเดียมไพรูวิทความเข้มข้นร้อยละ 1 ของเพนนิซิลินจีคิวามเข้มข้น 10^4 ยูนิตต่อมิลลิลิตร สเต็ปโดยมัชชินความเข้มข้น 25 มิลลิกรัมต่อมิลลิลิตร หรือ complete media ปั่นที่ อุณหภูมิ 37 องศาเซลเซียส บรรยากาศ CO_2 ร้อยละ 5 ทำการเปลี่ยนถ่ายอาหารเลี้ยงเซลล์ทุก 3-4 วัน

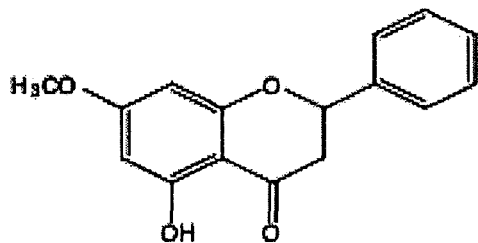
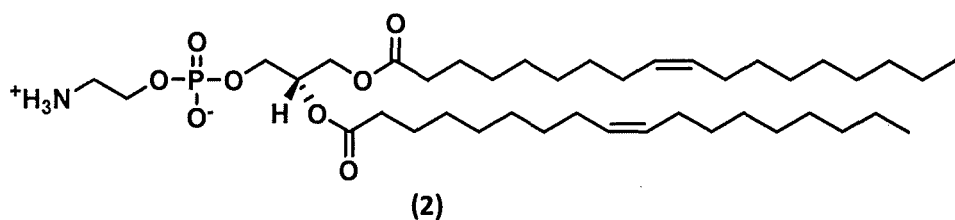
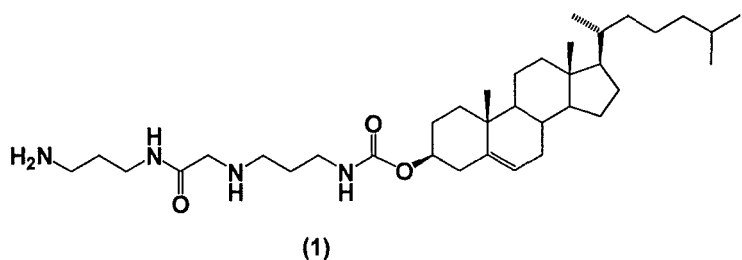
3. การศึกษาผลของพิโนสโตรบินต่อการเพิ่มจำนวนของเซลล์ไลน์มะเร็งชนิดต่าง ๆ โดยวิธี MTT proliferation assay

เติมเซลล์ไลน์ทดสอบที่ความเข้มข้นของ 5×10^4 เซลล์ต่อมิลลิลิตร ปริมาตร 100 ไมโครลิตร ต่อ หลุม เดิมพิโนสโตรบินที่ผ่านแล้วความเข้มข้นในช่วง 0.1- 100 ไมโครโมลาร์ เพาะเลี้ยงในตู้ปั่นอุณหภูมิ 37 องศาเซลเซียส บรรยากาศ CO_2 ร้อยละ 5 นาน 1 หรือ 4 วัน เมื่อครบกำหนดเวลา ตรวจสอบจำนวนเซลล์ ที่รอดชีวิต โดย MTT proliferation assay ตามวิธีที่รายงานโดย Mosmann (1983) โดยใช้ MTT ความเข้มข้น 5 มิลลิกรัมต่อมิลลิลิตร วัดค่าการดูดกลืนแสงที่ 540 นาโนเมตร ด้วยเครื่อง microplate reader และคำนวณหาเปอร์เซ็นต์การมีชีวิตของเซลล์ (% viability) โดยทำการทดลอง 3 ชั้น

4. การเตรียมไลโปไซม การเตรียมและหาปริมาณพิโนสโตรบินที่บรรจุในไลโปไซม (LipoPino)

ไลโปไซมจากไขมันชนิดประจุบวก (ได้รับจากห้องปฏิบัติการของ โรงพยาบาลจราจารย์ ดร. บุญเอก ยิ่งยงคงคุณ ภาควิชาเคมี คณะวิทยาศาสตร์ มหาวิทยาลัยรามคำแหง) มีวิธีการเตรียมดังนี้ ทำการสม ไขมันประจุบวก (ภาพที่ 1) กับ ไขมันตัวช่วย dioleoyl-L- α -phosphatidylethanolamine (DOPE) ใน อัตราส่วน 1:1 นำไขมันชนิดประจุบวกที่ได้ มาศึกษาอัตราส่วนที่เหมาะสม กับพิโนสโตรบิน โดยใช้พิโนส โตรบิน 27 ไมโครกรัม ในการศึกษาอัตราส่วนที่เหมาะสมระหว่างพิโนสโตรบิน : ไลโปไซม (LipoPino) ได้ ทำการ配รับอัตราส่วนระหว่างพิโนสโตรบิน : ไลโปไซม ดังนี้ 1:1, 1:5, 1:10 และ 1:20 โดยคงที่ ปริมาณพิโนสโตรบิน ที่ 27 ไมโครกรัม และ配รับปริมาณไลโปไซมที่ 27, 135, 270 และ 540 ไมโครกรัม ตามลำดับ โดยใช้คลอโรฟอร์มเป็นตัวทำละลาย จากนั้นทำระเหยคลอโรฟอร์มออกด้วยแก๊สไนโตรเจน แล้ว

นำไปทำให้แห้งภายใต้เครื่องทำสูญญากาศแรงดันต่ำเป็นเวลา 2 ชั่วโมง จนเห็นเป็นแผ่นฟิล์มบางเคลือบอยู่ที่ก้นหลอดไมโครพิวจ์ เติมสารละลายน้ำ phosphate-buffer saline (PBS, pH 7.4 ปริมาณ 40 มิลลิลิตร) ละลายที่อุณหภูมิห้อง นำไปผสมด้วยเครื่อง vortex mixer นาน 30 วินาที ต่อด้วยนำเข้าเครื่อง sonicator นาน 20 นาที จากนั้นนำหลอดไมโครพิวจ์ไปบีบห่วงที่ 13,000 x g นาน 15 นาที (ดัดแปลงจาก Immordino และคณะ 2003) เพื่อแยกเอาส่วนใส่ที่มี LipoPino ออกจากผลึกพิโนสโตรบิน (free pinostrobin) ที่กันหลอด นำส่วนสารละลายน้ำที่ได้ไปทดสอบฤทธิ์ต้านการเพิ่มจำนวนเซลล์มะเร็งต่อไป



(3)

ภาพที่ 1 โครงสร้างของส่วนประกอบสำหรับการเตรียมพิโนสโตรบินที่บรรจุในໄลไปซิมประกอบด้วย (1) ไขมันประจุบวกที่มีค่าเลสเทอรอลเป็นโครงสร้างหลัก (2) ไขมันตัวช่วย Dioleoylphosphatidylethanolamine (DOPE) และ (3) พิโนสโตรบิน

สำหรับการหาปริมาณพิโนสโตรบินที่บรรจุในไอลิปอิโซม มีรายละเอียดดังนี้ นำส่วนผลึกพิโนสโตรบิน (free pinostrobin) ที่ได้จากการปั่นเหวี่ยง ไปทำการล้างตะกรอนด้วยน้ำ 2 ครั้ง และละลายตะกรอนด้วยไดคลอโรเมเทน จากนั้นนำสารละลายที่ได้ไปวิเคราะห์ด้วยเครื่อง HPLC (Waters, Modal 515 liquid chromatography, Modal 2487 UV detector, Luna5μsilica 250 × 4.60 mm Phenomenex ใช้ mobile phase Dichloromethane/Methanol 90/10, v/v) คำนวณประสิทธิภาพการบรรจุพิโนสโตรบินในไอลิปอิโซม ตามสูตร ดังนี้

$$\text{ประสิทธิภาพการบรรจุ (\%)} = \frac{\text{ปริมาณทั้งหมดของพิโนสโตรบิน} - \text{พิโนสโตรบินอิสระ}}{\text{ปริมาณทั้งหมดของพิโนสโตรบิน}} \times 100$$

$$(\% \text{Loading efficiency}) \qquad \qquad \qquad \text{ปริมาณทั้งหมดของพิโนสโตรบิน}$$

$$\text{\% Loading Content} = \frac{\text{ปริมาณทั้งหมดของพิโนสโตรบิน} - \text{พิโนสโตรบินอิสระ}}{\text{ปริมาณทั้งหมดของไอลิปอิโซม}} \times 100$$

5. การเตรียมเซลล์เพื่อส่องด้วยเครื่อง Transmission Electron Microscope (TEM)

เลี้ยงเซลล์ไลน์ KATO III ที่ความเข้มข้น 1.25×10^5 เซลล์ต่อมิลลิลิตร ปริมาตร 500 ไมโครลิตร ต่อหลุม ที่เติม 10 ไมโครไมลาร์ LipoPino หรือ เติมเฉพาะไอลิปอิโซมในบริมาณที่เท่ากับที่มีใน LipoPino เป็นเวลานาน 6 ชั่วโมง หลังจากนั้นเก็บเกี่ยวเซลล์และตราชีเซลล์ตามวิธีการของ Bozzola (2007) เพื่อส่องดูภายใต้กล้องจุลทรรศน์อิเล็กตรอนแบบสองฝ่าย Transmission Electron Microscope (TEM)

6. การศึกษาผลของพิโนสโตรบินที่มีต่อวัฏจักรการแบ่งเซลล์

เตรียมเซลล์ไลน์ทดสอบที่ความเข้มข้นของ 1.25×10^5 เซลล์ต่อมิลลิลิตร ปริมาตร 500 ไมโครลิตร ต่อหลุม เติมพิโนสโตรบินที่ความเข้มข้นในช่วง 100 ไมโครไมลาร์ สำหรับ Jurkat และ KATO III และ 120

ไมโครมอลาร์ สำหรับ BT474 เพาะเลี้ยงในตู้บ่มอุณหภูมิ 37 องศาเซลเซียส บรรยายกาศ CO_2 ร้อยละ 5 นาน 1 ถึง 4 วัน เมื่อครบกำหนดเวลา เก็บเกี่ยวเซลล์และทำการ fix เซลล์ด้วยเคมานอล 70 เปอร์เซนต์ และย้อมด้วย Propidium iodide (Sigma, USA) นำเซลล์ดังกล่าวเข้าตรวจสืบโดยเครื่อง Flow cytometer (Beckman Coulter, USA)

7. การคำนวณค่าทางสถิติ

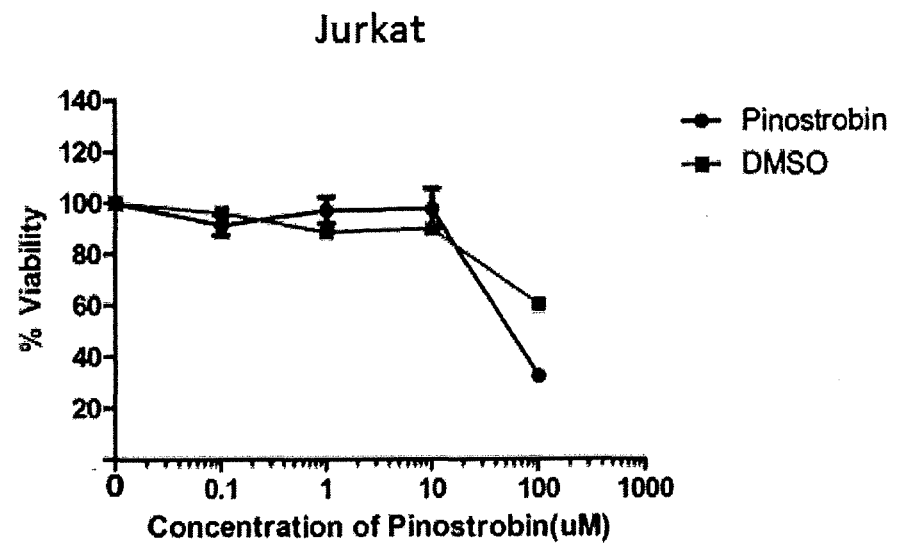
เปรียบเทียบความแตกต่างระหว่างข้อมูลแบบ unpaired t-test (two-tailed) โดยใช้โปรแกรม GraphPad Prism 5 (GraphPad Software)

ผลการทดลองและอภิปรายผลการทดลอง

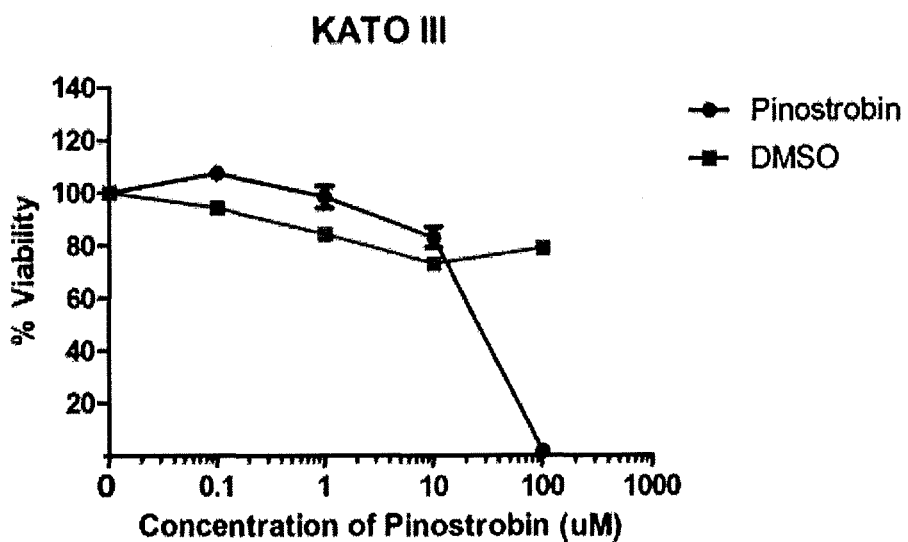
1. ฤทธิ์การต้านการเพิ่มจำนวนของเซลล์ไلن์มะเร็งบางชนิดโดยพิโนสโตรบิน

จากรายงานการวิจัยก่อนหน้าที่พบร่วมกันในสโตรบินจาก *P. lapathifolium* มีฤทธิ์ต้านการเพิ่มจำนวนของเซลล์ไلن์มะเร็งเม็ดเลือดขาว ชนิด Jurkat และ HL-60 (เซลล์ไلن์มะเร็งเม็ดเลือดขาว human promyelocyte) (Smolarz และคณะ (2006)) และ ชนิด CCRF-CEM (เซลล์ไلن์มะเร็งเม็ดเลือดขาว T-lymphoblast) (Ashidi และคณะ (2007)) เพื่อที่จะทราบว่าฤทธิ์ต้านการเพิ่มจำนวนของเซลล์โดยพิโนสโตรบิน มีความจำเพาะต่อชนิดของอวัยวะ หรือเนื้อเยื่อ (organ or tissue specific) หรือไม่ ในรายงานนี้จึงทำการศึกษาผลการต้านการเพิ่มจำนวนของเซลล์ไلن์จากอวัยวะต่าง ๆ ดังนี้ มะเร็งเม็ดเลือดขาว ชนิด Jurkat มะเร็งกระเพาะอาหาร KATO III มะเร็งลำไส้ใหญ่ SW620 มะเร็งตับ HepG2 และ มะเร็งเต้านม BT474 โดยวิธี MTT viability assay จากการทดลอง 3 ชั้้า ได้ผลดังภาพที่ 2 และค่าความเข้มข้นที่สามารถยับยั้งการเพิ่มจำนวนเซลล์ได้ร้อยละ 50 (IC_{50}) แสดงในตารางที่ 1

n)

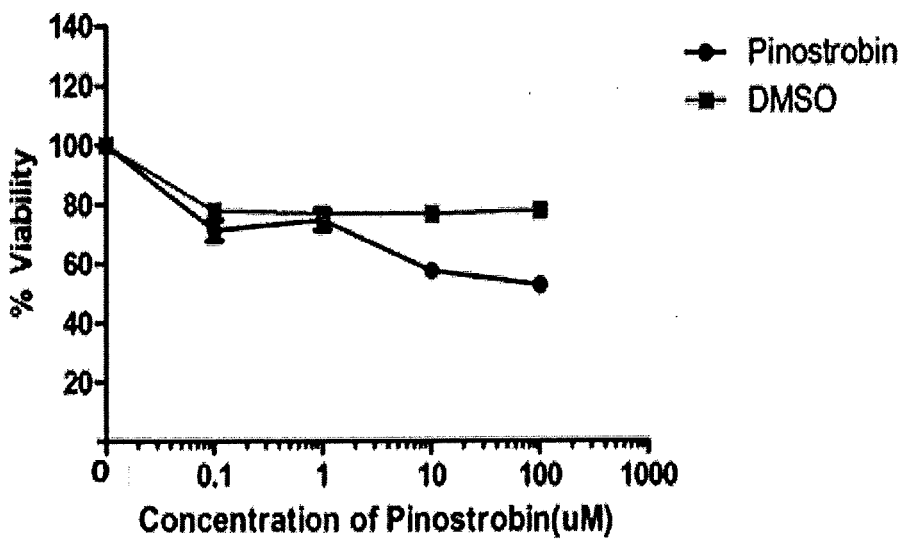


u)



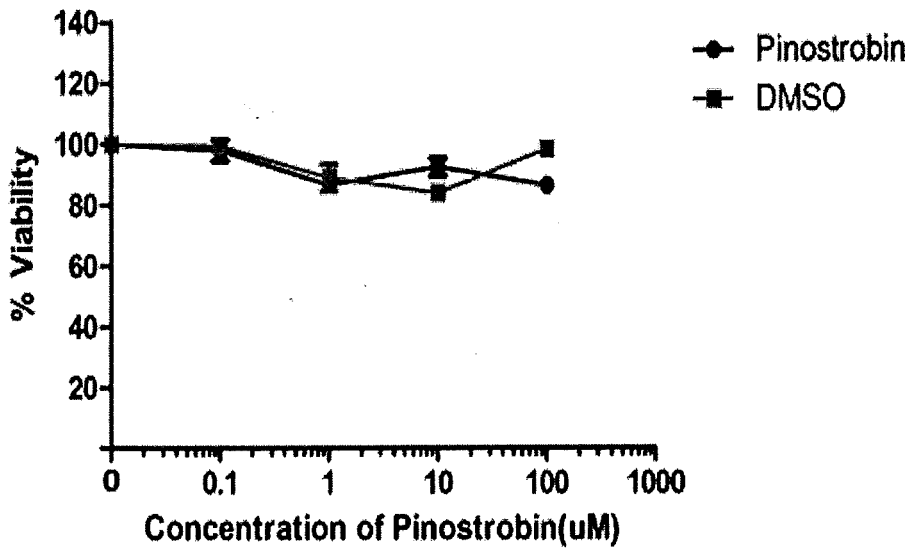
a)

SW620

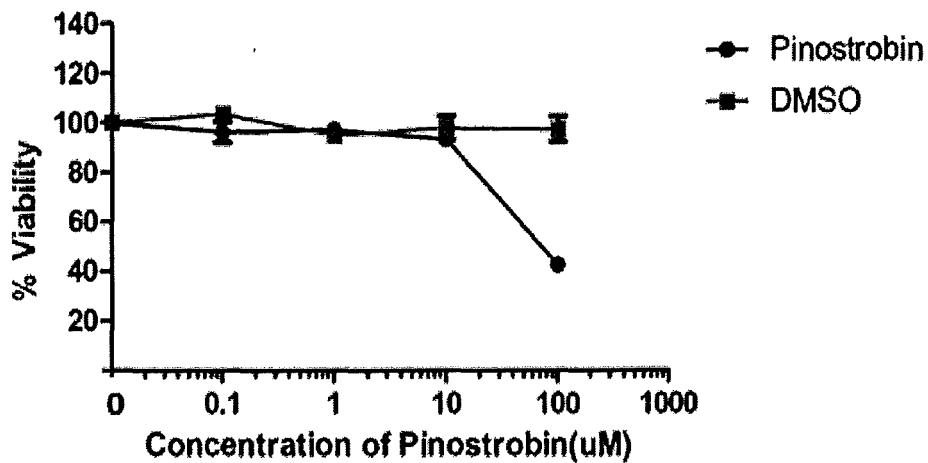


b)

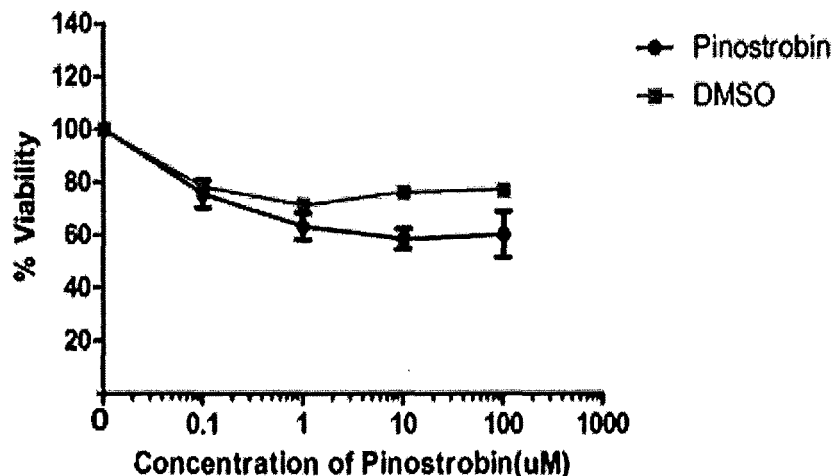
HepG2



(ก)

BT474

(ข)

Ca-Ski

ภาพที่ 2 ผลของพิโนสโตรบินต่อการอยู่รอดของเซลล์ในน้ำมะเรืองชนิดต่าง ๆ เซลล์ในน้ำมะเรือง ก) Jurkat ข) KATOIII ค) SW620 ง) HepG2 จ) BT474 ฉ) Ca-Ski ถูกเลี้ยงในอาหารเลี้ยงเซลล์ที่เติมพิโนสโตรบิน (●) หรือ DMSO (■) ที่ความเข้มข้นต่าง ๆ บ่มที่ 37 องศาเซลเซียส นาน 4 วัน วัดร้อยละของเซลล์ที่มีชีวิตรอดโดยวิธี MTT viability assay

ตารางที่ 1 ค่าความเข้มข้นของพิโนสโตรบินที่สามารถต้านการเพิ่มจำนวนของเซลล์มะเร็งได้ร้อยละ 50 (IC_{50})

ชนิด	เซลล์ไลน์	IC_{50} (ไมโครโมลาร์)
มะเร็งกระเพาะอาหาร	KATOIII	24.7 ± 4.5
มะเร็งลำไส้ใหญ่	SW620	> 100
มะเร็งตับ	HepG2	> 100
มะเร็งเต้านม	BT474	61.9 ± 1.2
มะเร็งเม็ดเลือดขาว	Jurkat	48.0 ± 6.2
มะเร็งปากมดลูก	Ca-Ski	> 100

จากผลการทดลอง พบว่าพิโนสโตรบินมีผลต้านการเพิ่มจำนวนของเซลล์ไลน์มะเร็งได้ดี (มีค่า IC_{50} ต่ำกว่า 100 ไมโครโมลาร์) ในมะเร็งเม็ดเลือดขาว Jurkat มะเร็งกระเพาะอาหาร KATOIII และมะเร็งเต้านม BT474 โดยพบว่ามะเร็งกระเพาะอาหาร KATOIII มีความไวต่อพิโนสโตรบินมากที่สุด ส่วนในอีก 3 เซลล์ไลน์ ได้แก่ มะเร็งลำไส้ใหญ่ SW620 มะเร็งตับ HepG2 มะเร็งปากมดลูก Ca-Ski มีค่า IC_{50} เกิน 100 ไมโครโมลาร์ ทั้งนี้การศึกษาถูกทรัพย์ของพิโนสโตรบินต่อเซลล์ไลน์ชนิดต่าง ๆ ของมะเร็งก่อนหน้างานวิจัยนี้มีจุดเด่น โดยงานก่อนหน้าได้มีการกล่าวถึงในบทนำไปแล้ว

การที่เซลล์ไลน์มะเร็ง 3 ชนิด ไม่ไวต่อพิโนสโตรบินนั้น อาจเป็นผลมาจากการที่พิโนสโตรบินผ่านเข้าสู่เซลล์ได้ไม่ดี เพื่อที่จะเพิ่มประสิทธิภาพการนำพิโนสโตรบินเข้าเซลล์ให้มากขึ้น ผู้วิจัยจึงเลือกใช้ ไลโปโซมชนิดไขมันประจุบวก (ดังรายงานใน Apiratikul และคณะ 2013) เพื่อช่วยนำพิโนสโตรบินซึ่งเป็นสารที่มีข้อจำกัดเข้าสู่เซลล์

2. อัตราส่วนที่เหมาะสมระหว่างพิโนสโตรบินต่อไลโปโซม

การเลือกใช้ไลโปโซมนิคคลอเรสเทอโรลเพื่อบรรจุพิโนสโตรบินนั้น คาดหวังให้ได้ประสิทธิภาพของพิโนสโตรบินที่สูงสุดและมีความเป็นพิษจากไลโปโซมน้อยที่สุด จึงได้ทำการศึกษาเพื่อหาอัตราส่วนที่เหมาะสมระหว่างพิโนสโตรบินต่อไลโปโซม โดยทำการเติมพิโนสโตรบินที่บรรจุในไลโปโซม โดยผันแปรอัตราส่วนระหว่างพิโนสโตรบินต่อไลโปโซม ดังนี้ 1:1 1:5 1:10 และ 1:20 จากนั้นทำการทดสอบฤทธิ์ด้านการเพิ่มจำนวนของเซลล์โดยวิธี MTT viability assay โดยเลือกเซลล์ไลน์ 2 ชนิด ได้แก่ เซลล์ไลน์มะเร็งเม็ดเลือดขาว Jurkat และมะเร็งกระเพาะอาหาร KATO III ได้ผลดังตารางที่ 2

ตารางที่ 2 ค่า IC_{50} ของพิโนสโตรบินที่บรรจุในไลโปโซมที่อัตราส่วนต่าง ๆ ที่มีต่อเซลล์ไลน์มะเร็งกระเพาะอาหาร KATO III และ เซลล์ไลน์มะเร็งเม็ดเลือดขาว Jurkat

	IC_{50} (ไมโครโมลาร์)	
รูปแบบของพิโนสโตรบิน	เซลล์ไลน์ KATOIII	เซลล์ไลน์ Jurkat
พิโนสโตรบิน	24.7 ± 4.5	48.0 ± 6.2
พิโนสโตรบิน:ไลโปโซม อัตราส่วน 1:1	>100	>100
ไลโปโซม เท่ากับในอัตราส่วน 1:1	>100	>100
พิโนสโตรบิน:ไลโปโซม อัตราส่วน 1:5	20.9 ± 0.4	17.9 ± 2.2
ไลโปโซม เท่ากับในอัตราส่วน 1:5	19.3 ± 1.5	20.4 ± 0.5
พิโนสโตรบิน:ไลโปโซม อัตราส่วน 1:10	19.0 ± 2.3	3.6 ± 0.5
ไลโปโซม เท่ากับในอัตราส่วน 1:10	12.8 ± 0.2	6.4 ± 1.4
พิโนสโตรบิน:ไลโปโซม อัตราส่วน 1:20	9.3 ± 1.1	2.7 ± 0.5
ไลโปโซม เท่ากับในอัตราส่วน 1:20	18.0 ± 0.6	22.1 ± 1.2

จากผลการทดลองดังแสดงในตารางที่ 2 พบว่าพิโนสโตรบินที่บรรจุในไลโปโซมด้วยอัตราส่วน พิโนสโตรบิน : ไลโปโซม เป็น 1:1 รวมทั้งไลโปโซมที่มีปริมาณเท่ากับที่ใช้ในอัตราส่วน 1:1 ไม่พบฤทธิ์ต้าน

การเพิ่มจำนวนของเซลล์ (มีค่า IC_{50} มากกว่า 100 ไมโครโมลาร์) แต่เมื่อปริมาณของไลโปไซมที่เพิ่มมากขึ้น ดังเช่นในอัตราส่วนพิโนสโตรบิน:ไลโปไซม เป็น 1:5 1:10 และ 1:20 พบร่วมค่า IC_{50} ของพิโนสโตรบินในไลโปไซม มีค่าลดลงเมื่ออัตราส่วนที่มีไลโปไซมที่มากขึ้น เป็นที่สังเกตว่า ที่อัตราส่วนพิโนสโตรบิน:ไลโปไซม เป็น 1:1 ไม่พบฤทธิ์ต้านการเพิ่มจำนวนของเซลล์ (มีค่า IC_{50} มากกว่า 100 ไมโครโมลาร์) โดยให้ผลการทดลองไม่ต่างจาก ชุดการทดลองที่เติมเฉพาะไลโปไซมที่มีปริมาณของไลโปไซมเท่ากับในพิโนสโตรบิน ในไลโปไซม (LipoPino) ที่อัตราส่วน พิโนสโตรบิน:ไลโปไซม เป็น 1:1 นอกจากนี้ยังเห็นค่า IC_{50} ที่สูงกว่าในชุดการทดลองที่เติมพิโนสโตรบินอิสระ อธิบายได้ว่า ใน LipoPino (1:1) นั้น พิโนสโตรบินถูกละลายใน Phosphate buffer saline (PBS) ซึ่งเป็นตัวทำละลายที่มีข้าวสูง พิโนสโตรบินจึงไม่สามารถละลายได้ และตกเป็นผลึกแทน จึงไม่พบฤทธิ์ชีวภาพของพิโนสโตรบิน ในขณะที่พิโนสโตรบินอิสระถูกละลายใน dimethylsulfonate (DMSO) ซึ่งเป็นตัวทำละลายพิโนสโตรบินได้ดีกว่า จึงพบฤทธิ์ชีวภาพที่ดีกว่า (ค่า IC_{50} ต่ำกว่า)

ที่อัตราส่วนพิโนสโตรบิน:ไลโปไซม 1:20 พบร่วมค่า IC_{50} ของพิโนสโตรบินในไลโปไซม มีค่าต่ำสุด ในทั้ง 2 เซลล์ไลน์ทดสอบ นอกจากนี้ที่อัตราส่วนดังกล่าว ปริมาณของไลโปไซม มีค่า IC_{50} ที่ห่างจาก ค่า IC_{50} ของพิโนสโตรบินในไลโปไซมมากที่สุด เป็น 1.94 เท่า ในเซลล์ไลน์มะเร็ง KATOIII และ 8.2 เท่า ในเซลล์ไลน์มะเร็ง Jpgkat ตามลำดับ อย่างไรก็ตามเมื่อเพิ่มอัตราส่วนระหว่างพิโนสโตรบิน:ไลโปไซม ให้สูงขึ้น เป็น 1:30 และ 1:40 พบร่วมค่า IC_{50} ที่ห่างจากค่า IC_{50} ของพิโนสโตรบินในไลโปไซม มาก เนื่องจาก ผลการทดลองในตารางที่ 2 ทำให้ผู้วิจัยเลือกอัตราส่วนระหว่างพิโนสโตรบิน:ไลโปไซม เป็น 1:20 ที่มีผลเป็นพิเศษต่อเซลล์ทดสอบ (ไม่ได้แสดงผล)

ผลการทดลองในตารางที่ 2 ทำให้ผู้วิจัยเลือกอัตราส่วนระหว่างพิโนสโตรบิน:ไลโปไซม เป็น 1:20 เป็นอัตราส่วนที่เหมาะสมสำหรับใช้ในการศึกษาต่อไป

และจากผลการทดลองในตารางที่ 2 จะเห็นว่าการใช้พิโนสโตรบินช่วยนำพิโนสโตรบินเข้าเซลล์สามารถเพิ่มประสิทธิภาพการอกรถทึดต้านการเพิ่มจำนวนของเซลล์ไลน์ทดสอบได้ โดยสามารถลดปริมาณของพิโนสโตรบินลง 2.7 เท่า สำหรับเซลล์ไลน์มะเร็ง KATOIII และ 17.8 เท่า สำหรับเซลล์ไลน์มะเร็ง Jurkat ที่สามารถต้านการเพิ่มจำนวนของเซลล์ไลน์มะเร็งทดสอบได้ ร้อยละ 50

3. ลักษณะทางกายภาพของพิโนสโตรบินที่บรรจุในไลโปไซม

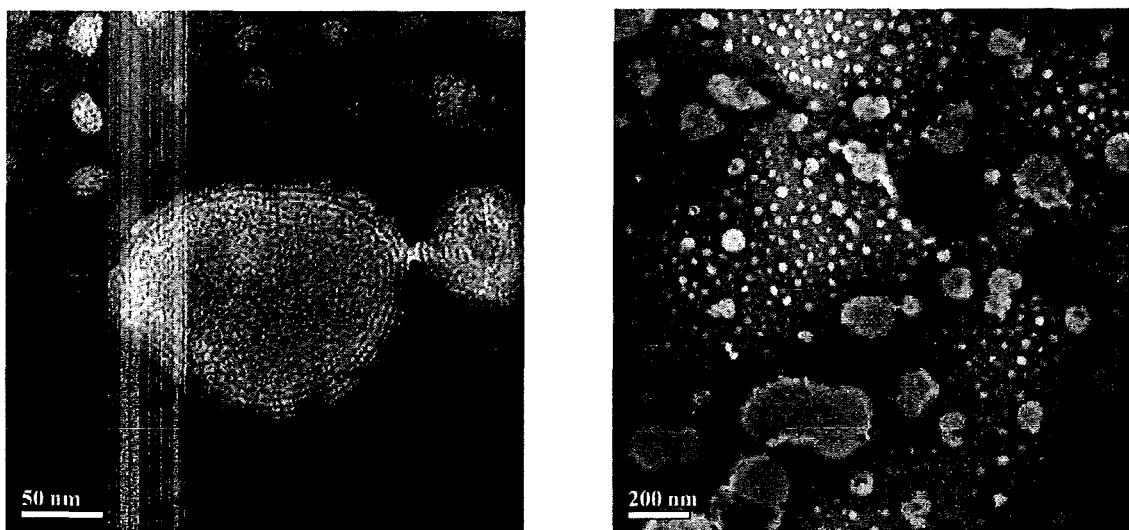
จากผลการทดลองใน ตารางที่ 2 ซึ่งผู้วิจัยได้เลือกอัตราส่วนระหว่างพิโนสโตรบิน: ไลโปไซม เป็น 1:20 (LipoPino) และจากการเตรียมพิโนสโตรบิน : ไลโปไซม ที่อัตราส่วน 1:20 ได้ผลประสิทธิภาพการเตรียมดังนี้

ค่า % Loading efficiency ประมาณ 83% (พิโนสโตรบิน 22.41 ไมโครกรัม : ไลโปไซม 448.2 ไมโครกรัม)

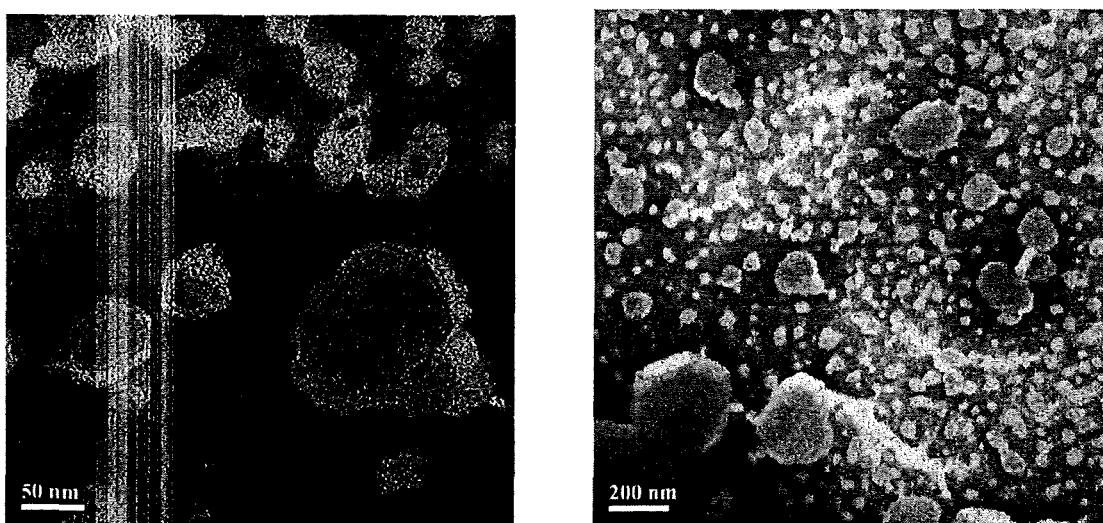
ค่า % Loading content ของ LipoPino ประมาณ 4.15%

ค่าที่ได้บ่งบอกถึงประสิทธิภาพการบรรจุพิโนสโตรบินในไลโปไซมชนิดไขมันประจุบวกได้ดี และเพื่อที่จะศึกษาลักษณะสมบัติของพิโนสโตรบินที่บรรจุในไลโปไซม เซลล์มะเร็งกระเพาะอาหาร KATOIII ที่ถูกเลี้ยงในอาหารเลี้ยงเซลล์ RPMI ที่เติม 10 ไมโครโมลาร์ ของพิโนสโตรบิน ที่บรรจุในไลโปไซม (LipoPino) หรือ ไลโปไซม ในปริมาณที่เท่ากับปริมาณไลโปไซมใน LipoPino ปั่นเซลล์นาน 6 ชั่วโมง ภายหลังการเก็บเกี่ยวเซลล์ และเตรียมเซลล์เพื่อนำไปส่องวิวไทร์กล้องจุลทรรศน์อิเล็กtron บนชีวนิດแบบสองฝ่าน (Transmission electron microscope: TEM) ได้ผลดังภาพที่ 3

ก)

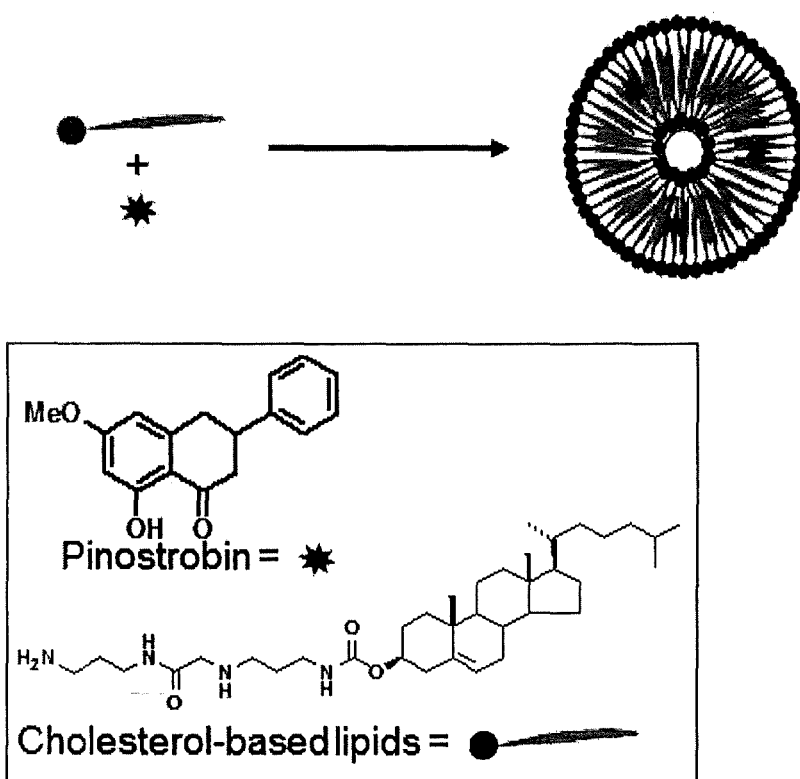


ก)



ภาพที่ 3 ลักษณะทางกายภาพของไลโปโซมอิสระ (Free Liposome) และไลโปโซมที่มีการบรรจุพิโนสโตรบิน (LipoPino) ภายในเซลล์ของเซลล์ไลน์มะเร็งกระเพาะอาหาร KATOIII เมื่อส่องดูด้วยกล้องจุลทรรศน์อิเล็กตรอนแบบส่องผ่าน ก) ไลโปโซมที่ไม่ได้มีการบรรจุพิโนสโตรบิน (Free Liposome) ข) ไลโปโซมที่มีการบรรจุพิโนสโตรบิน (LipoPino) ภายหลังที่เติม Liposome หรือ LipoPino 6 ชั่วโมง

ผลการทดลองจากภาพที่ 3 พบว่า ทั้งไลโปโซมที่ไม่มีการบรรจุพิโนสโตรบิน (free liposome) และ LipoPino มีรูปร่างค่อนข้างกลมรี มีขนาดแตกต่างกันมาก ตั้งแต่ขนาดเล็กกว่า 50 นาโนเมตร จนถึงขนาดมากกว่า 200 นาโนเมตรมาก ซึ่งในกรณีหลังนี้ พบร่องสร้างภายใน vesicle ประกอบด้วยชั้นที่คาดว่าเป็น lipid bilayer หลายชั้นอยู่ช้อนกัน (Multilamellar vesicle) ซึ่งเป็นลักษณะที่คล้ายกับที่ระบุในงานวิจัยของ Torchilin, (2005) นอกจากนั้นทั้งไลโปโซม (ภาพ 3 ก) และ ไลโปโซมที่มีการบรรจุพิโนสโตรบิน (LipoPino) (ภาพ 3 ข) ต่างก็เข้าสู่เซลล์ได้ดี ไม่พบความแตกต่างของลักษณะทางกายภาพ ทั้งรูปร่าง รูปแบบ และขนาด คงจะผิดใจคาดว่าพิโนสโตรบินซึ่งเป็นสารที่มีข้อต่อจำกัดทางเดินเข้าไปในชั้นไขมันของไลโปโซมของ LipoPino ดังแสดงในภาพที่ 4

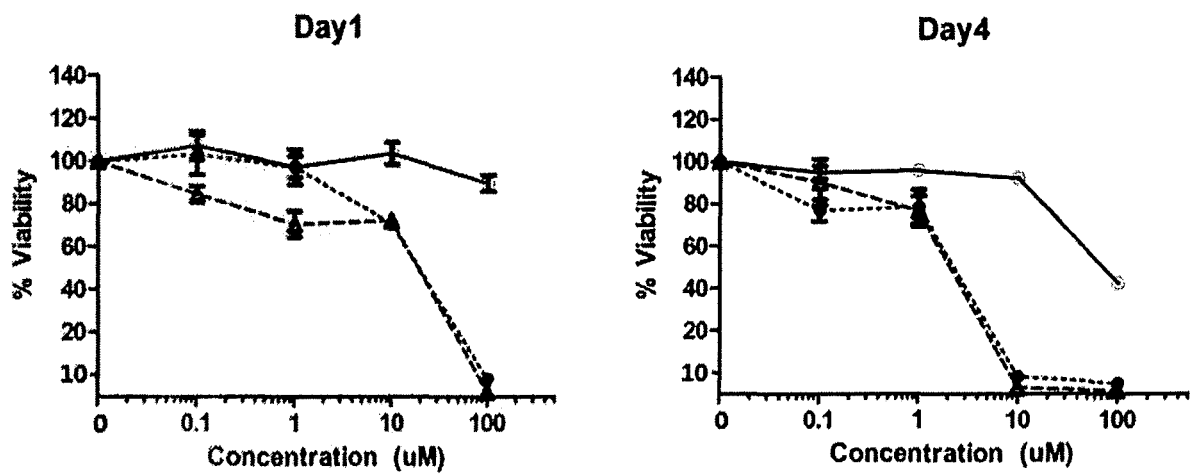


ภาพที่ 4 แบบจำลองของโครงสร้างพิโนสโตรบินในไลโปโซม

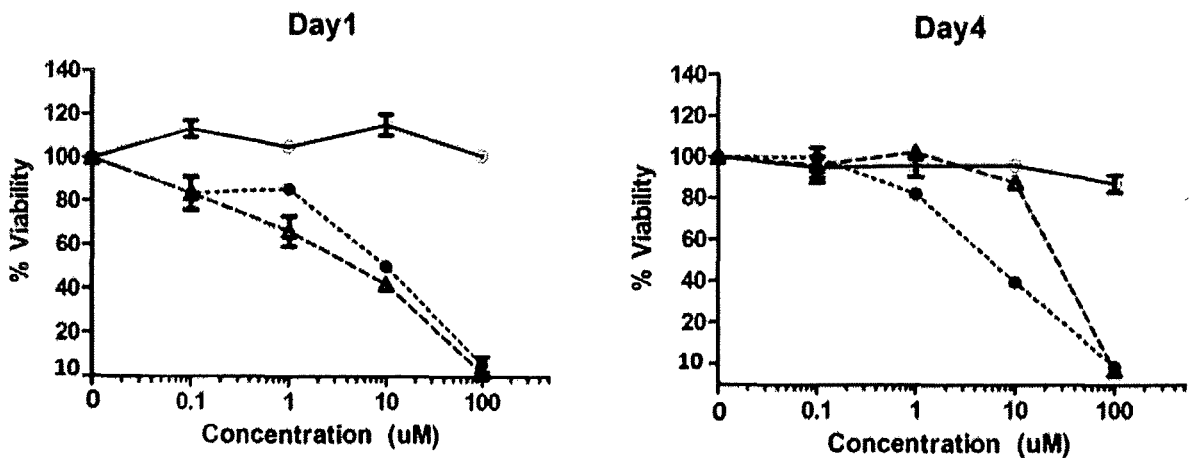
4. ผลการต้านการเพิ่มจำนวนของเซลล์ในน้ำมันเรืองบางชนิดโดยพิโนสโตรบินที่บรรจุในไลโปไซม (LipoPino)

เพื่อที่จะศึกษาประสิทธิภาพของการใช้ไลโปไซมช่วยนำพิโนสโตรบินเข้าเซลล์ จึงได้ทำการเลี้ยงเซลล์ในน้ำมันทั้ง 6 ชนิดได้แก่ เซลล์ในน้ำมันเม็ดเลือดขาวชนิด Jurkat เซลล์ในน้ำมันเรืองกระเพาะอาหาร KATO III เซลล์ในน้ำมันเรืองดำไส้ใหญ่ SW620 เซลล์ในน้ำมันเรืองตับ HepG2 และเซลล์ในน้ำมัน BT474 และ เซลล์ในน้ำมันเรืองปากมดลูก Ca-Ski ในอาหารเลี้ยงเซลล์ที่เติม LipoPino หรือ ไลโปไซม ที่ความเข้มข้นต่าง ๆ ปั้มที่ 37°C CO_2 ร้อยละ 5 เป็นเวลา 1 หรือ 4 วัน วัดร้อยละการรอดชีวิต โดยวิธี MTT viability assay ทำการทดลอง 3 ครั้ง ได้ผลดังภาพที่ 4 และตารางที่ 3

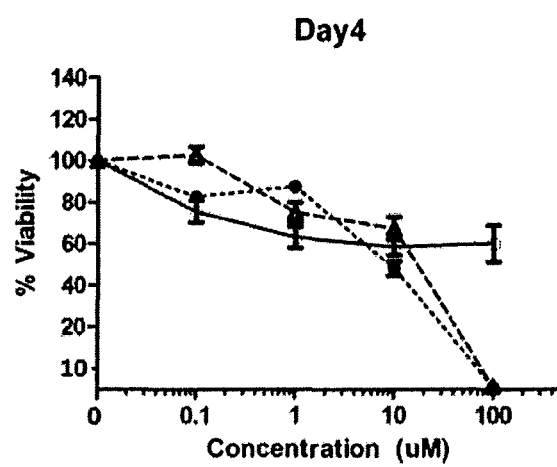
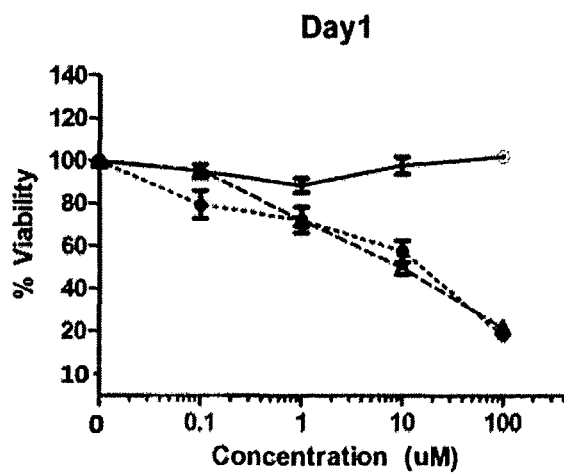
BT 474



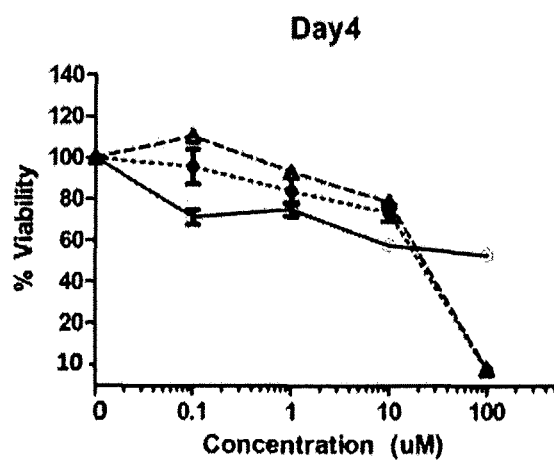
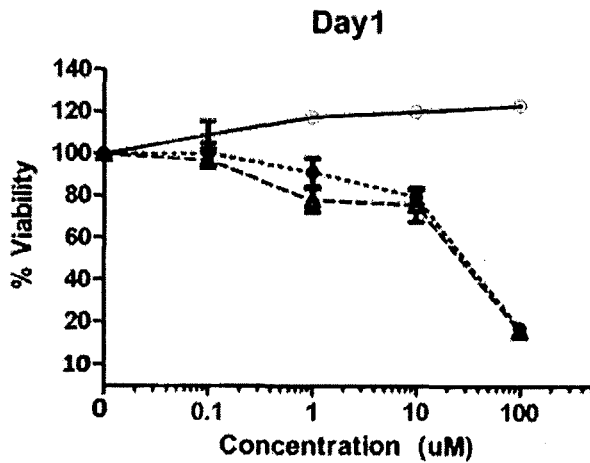
HepG2



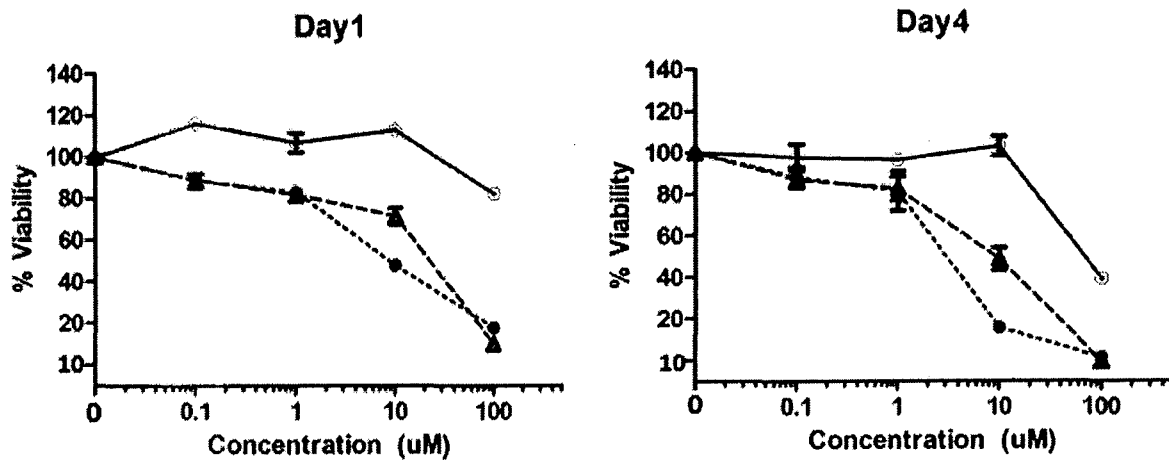
Ca-Ski



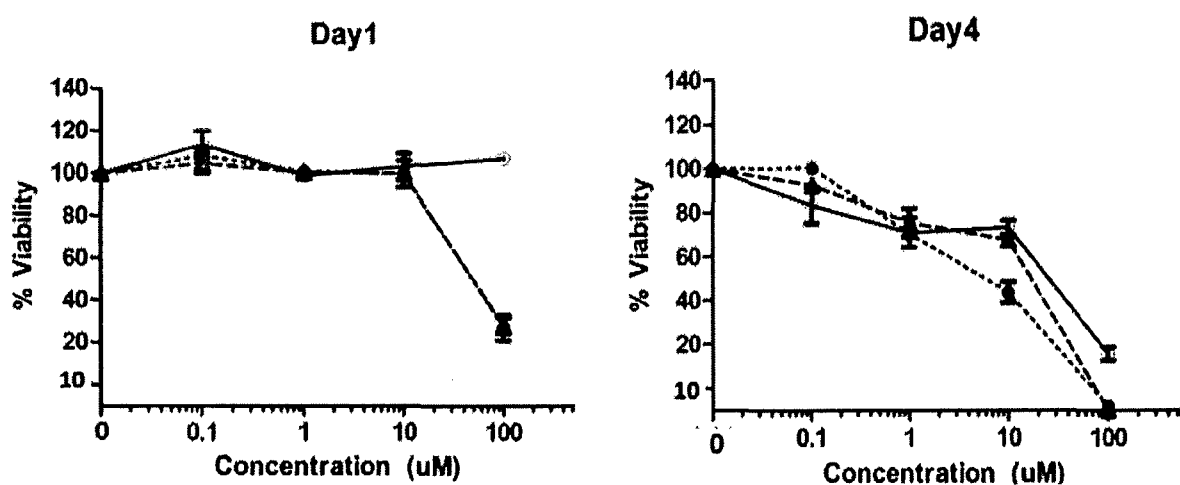
SW260



Jurkat



KATO III



ภาพที่ 5 ผลของพิโนสโตรบินที่บรรจุในไลโปปิโนที่มีต่อการอัมรุลดของเซลล์ไลน์มะเร็งชนิดต่าง ๆ โดยวิธี

MTT viability assay (: pinostrobin, : lipopino, : liposome)

ตารางที่ 3 ค่า IC_{50} และประสิทธิภาพของพิโนสโตรบินที่บรรจุในไลโปโซมที่มีต่อการต้านการเพิ่มจำนวนของเซลล์ไลน์มะเร็งชนิดต่าง ๆ

ค่า IC_{50} (ไมโครโมลาร์)						
	Jurkat	Ca-Ski	BT474	SW620	HepG2	KATO III
Free pinostrobin	51.2 ± 1.61	>100	61.9 ± 1.15	>100	>100	24.7 ± 4.5
LipoPino	2.6 ± 0.17	7.7 ± 0.36	1.9 ± 0.03	23.2 ± 2.10	4.8 ± 0.26	9.3 ± 1.1
Liposome	10.6 ± 0.55	17.2 ± 0.65	1.6 ± 0.03	21.8 ± 1.66	28.4 ± 1.50	18.0 ± 0.6
ประสิทธิภาพของ LipoPino						
ที่เพิ่มจาก Pinostrobin (เท่า)	19.5	>13.1	ND*	ND*	>20.9	2.7

ND*: ตรวจสอบไม่ได้

LipoPino : ไลโปโซมที่บรรจุพิโนสโตรบิน

จากผลการทดลองในภาพที่ 4 และตารางที่ 3 พบว่าผลของ LipoPino และ Liposome อย่างเดียวกัน มีต่อเซลล์ไลน์ BT474 และ SW620 ให้ผลเหมือนกัน บ่งบอกว่า Liposome มีความเป็นพิษต่อเซลล์ไลน์ หั้งสอง ซึ่งยืนยันได้จากผลในตารางที่ 4 ซึ่งแสดง ร้อยละการระดับชีวิตของเซลล์ไลน์ชนิดต่าง ๆ เมื่อสัมผัส กับ LipoPino หรือ Liposome

ตารางที่ 4 ความเป็นพิษของไลโปโซม ที่ความเข้มข้นเท่ากับใน LipoPino ที่ความเข้มข้น IC_{50} ที่มีต่อเซลล์ไลน์มะเร็งทดสอบ

ชนิดของเซลล์ไลน์มะเร็ง	ร้อยละ การระดับชีวิตที่ความเข้มข้น IC_{50} ของ LipoPino
Jurkat	67
Ca-Ski	71
BT474	50
SW620	57
HepG2	96
KATO III	81

จากตารางที่ 4 เมื่อใช้ Liposome ที่ปริมาณเท่ากับ IC_{50} ของ LipoPino พบว่า เซลล์มะเร็ง Jurkat, Ca-Ski, HepG2 และ KATO III มีอัตราการระดับชีวิตอยู่ในช่วง ร้อยละ 67- 96 ในขณะที่เซลล์มะเร็ง BT474 และ SW620 มีอัตราการระดับชีวิตประมาณร้อยละ 50 แสดงให้เห็นว่า Liposome ที่ปริมาณเท่ากับ IC_{50} ของ LipoPino มีความเป็นพิษต่อเซลล์มะเร็ง BT474 และ SW620 มากกว่าเซลล์ไลน์ทดสอบอื่น

จากผลการทดลองในภาพที่ 4 เมื่อทำการปั่นไลโปโซม และ LipoPino กับเซลล์ไลน์ทดสอบเป็นเวลา 1 วัน พบร่วง Liposome และ LipoPino แสดงความเป็นพิษต่อทุกเซลล์ไลน์ทดสอบดังเด่นชัดความเข้มข้นของไลโปโซม 0.1 ไมโครโมลาร์ ยกเว้นในเซลล์ไลน์ SW620 ที่เริ่มพบความเป็นพิษของ Liposome ที่ความเข้มข้น >0.1 ไมโครโมลาร์ และในเซลล์ไลน์ KATOIII ที่เริ่มพบความเป็นพิษของ Lipo ที่ความเข้มข้น >10 ไมโครโมลาร์ จาก 6 เซลล์ไลน์ทดสอบ พบร่วมกับ LipoPino มีความเป็นพิษมากกว่า Liposome

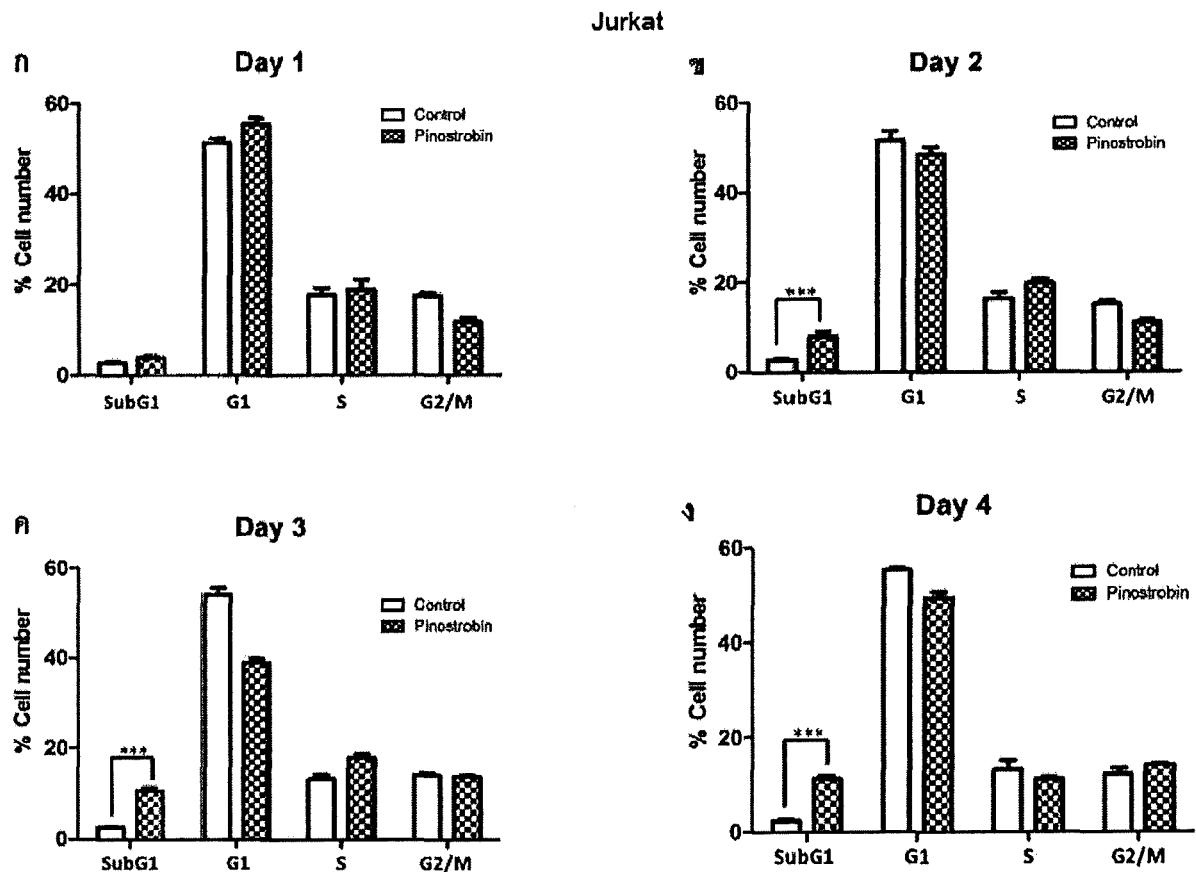
เมื่อทำการปั่น Liposome และ LipoPino กับเซลล์ไลน์ทดสอบเป็นเวลา 4 วัน พบร่วง Liposome มีความเป็นพิษต่อเซลล์ไลน์ BT474 มากที่สุด และต่อเซลล์ไลน์ SW620 รองลงมา ทำให้ไม่เห็นฤทธิ์การทำลายมากเพิ่มจำนวนเซลล์มะเร็งจากพินสโตรบินที่อยู่ใน Liposome ได้ สำหรับในเซลล์ไลน์ Ca-Ski มีความไวต่อ LipoPino ดีกว่า Liposome แต่เมื่อเพิ่มความเข้มข้นของ LipoPino มากขึ้น พบร่วงเซลล์มีการทำลายมากขึ้นใกล้เคียงกับผลจาก Liposome จากผลการทดลองในภาพที่ 4 ตารางที่ 3 และ 4 ทำให้สรุปได้ว่าเซลล์ไลน์ 3 ชนิดได้แก่ เซลล์ไลน์ BT474 เซลล์ไลน์ SW620 และเซลล์ไลน์ Ca-Ski ไม่เหมาะสมแก่การใช้ Liposome เพื่อช่วยเพิ่มประสิทธิภาพของพินสโตรบิน แต่จากการทดลองในภาพที่ 4 ตารางที่ 3 และ 4 ชี้ให้เห็นว่า Liposome ช่วยเพิ่มประสิทธิภาพของพินสโตรบินที่มีต่อการต้านการเพิ่มจำนวนในเซลล์ไลน์ Jurkat เซลล์ไลน์ HepG2 และเซลล์ไลน์ KATOIII เนื่องจากเซลล์มีการตอบสนองต่อ LipoPino ได้ดี ค่า IC₅₀ ของ LipoPino ค่อนข้างต่ำ ในขณะที่ร้อยละของเซลล์ตายอันเนื่องมาจากการข้ามเดี่ยงของ Liposome ค่อนข้างต่ำด้วยเช่นกัน หรือกล่าวอีกนัยหนึ่งได้ว่า Liposome มีความเป็นพิษค่อนข้างต่ำเมื่อใช้กับ เซลล์ไลน์ Jurkat เซลล์ไลน์ HepG2 และเซลล์ไลน์ KATOIII และความเป็นพิษของ Liposome ต่อเซลล์ไลน์ BT474 และ SW620 อาจเกิดจากความแตกต่างทางกายภาพของเซลล์ไลน์ทั้งสองชนิดกับเซลล์ไลน์

ทดสอบอีน ๆ หากจะมีการนำไปใช้งานควรมีการศึกษาการบรรจุพิโนสโตรบินใน Liposome ที่เตรียมโดยวัตถุดิบจากไข่นกนิดอีน ๆ ด้วย

สรุปว่าการใช้ Liposome เป็นพาหะช่วยเพิ่มประสิทธิภาพของพิโนสโตรบินในการต้านการเพิ่มจำนวนเซลล์ได้ 19.5 เท่าสำหรับเซลล์ไลน์ Jurkat ได้ >20.9 เท่าสำหรับเซลล์ไลน์ HepG2 และ 2.7 เท่าสำหรับเซลล์ไลน์ KATOIII เมื่อเทียบกับการใช้พิโนสโตรบินอย่างเดียว

5. ผลของพิโนสโตรบินที่มีต่อวัฏจักรการแบ่งเซลล์ของเซลล์มะเร็งบางชนิด

เพื่อที่จะให้เข้าใจมากขึ้นถึงกลไกที่พิโนสโตรบินออกฤทธิ์ต้านการเพิ่มจำนวนในเซลล์ไลน์มะเร็งบางชนิดได้ ผู้วิจัยได้ทำการเลี้ยงเซลล์ไลน์ชนิดที่ไวต่อพิโนสโตรบิน และทำการเติมและไมเติมพิโนสโตรบินในอาหารเลี้ยงเซลล์ จากนั้นเก็บเซลล์และย้อมดีเอ็นเอด้วย Propidium iodide (PI) เพื่อศึกษาฐานแบบการแบ่งเซลล์ทุกวัน นาน 4 วัน โดยวิธี Flow cytometry ได้ผลดังแสดงในภาพที่ 5



ภาพที่ 6 ผลของพิโนสโตรบินที่มีต่อรูปแบบวัฏจักรการแบ่งเซลล์ของเซลล์มะเร็ง Jurkat

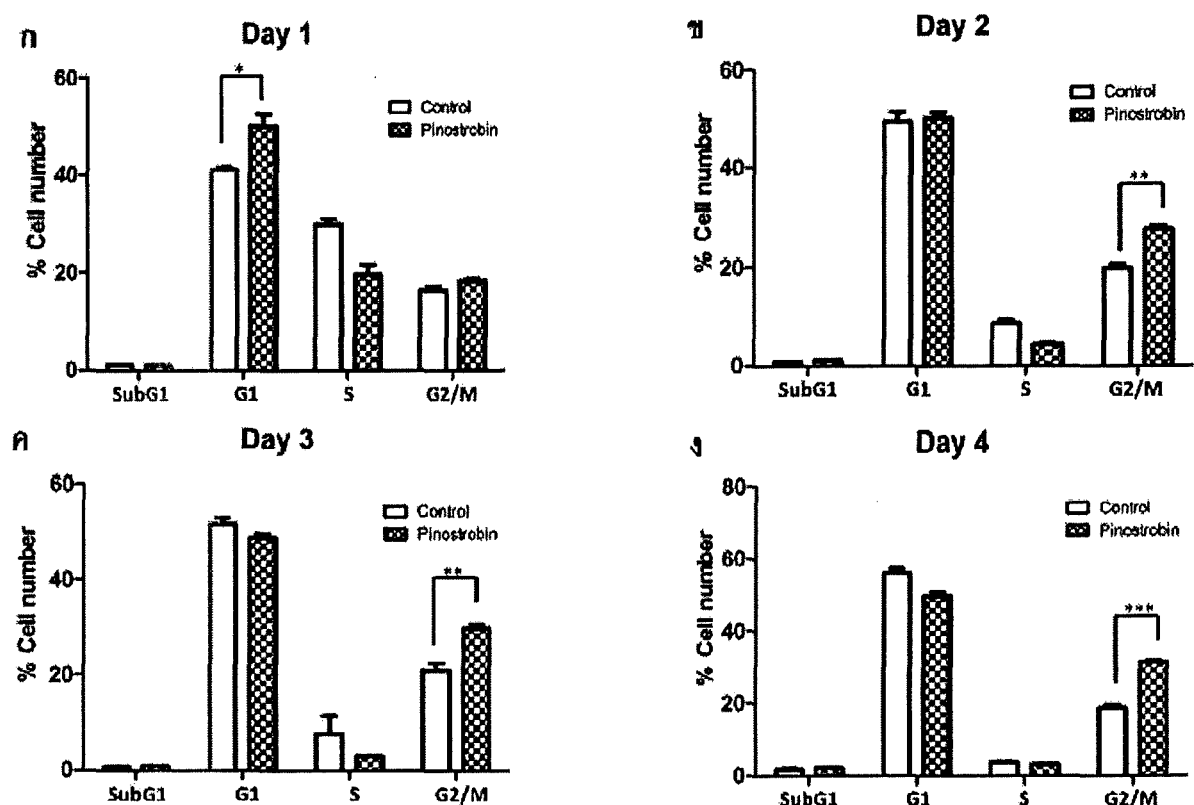
เลี้ยงเซลล์มะเร็ง Jurkat ความเข้มข้น 1.25×10^5 เซลล์ต่อหลัง ในอาหารที่เติม 100 ไมโครโมลาร์ (ประมาณ 2 เท่า IC₅₀) พิโนสโตรบิน (กราฟแท่งลายจุด) หรือ ไม่เติม (กราฟแท่งสีขาว) บ่ม 37 องศาเซลเซียส บรรยายกาศ CO₂ ร้อยละ 5 เก็บตัวอย่างเซลล์ ทุกวัน (ก-ง) นาน 4 วัน วัดปริมาณเซลล์ ในระยะต่าง ๆ ของวัฏจักรการแบ่งเซลล์ ด้วยเครื่อง Flow cytometer *** มีความแตกต่างกันอย่างมีนัยสำคัญที่ P<0.001

ตารางที่ 5 ผลของพีโนสไทรบินที่มีต่อจำนวนประชากร ในระยะต่าง ๆ ของวัยจักรการแบ่งเซลล์
ของเซลล์มะเร็ง Jurkat

กลุ่ม (ช่วงอายุ)	ระยะเวลาปัม	จำนวนเซลล์			
		Sub G1	G1	S	G2/M
กลุ่มควบคุม (ไม่เติมพีโนส)	24	2.7±0.6	51.4±1.8	17.7±2.6	17.4±1.1
ไทรบิน	48	2.8±0.5	51.6±3.8	16.3±2.4	15.2±0.9
	72	2.6±0.3	54.1±2.7	13.1±1.7	13.9±0.9
	96	2.4±0.5	55.4±1.0	13.2±3.5	12.3±2.2
พีโนสไทรบิน (100 ไมโครกรัม)	24	3.9±0.6	55.4±2.4	18.8±4.1	11.7±1.5
	48	7.9±1.9***	48.4±2.9	19.8±1.9	11.0±1.0
	72	10.4±1.3***	39.0±1.7	17.8±1.5	13.6±0.5
	96	11.4±1.1***	49.4±2.2	11.3±1.1	14.2±0.5

*** มีความแตกต่างจากกลุ่มควบคุมอย่างมีนัยสำคัญที่ $P<0.001$

KATO III



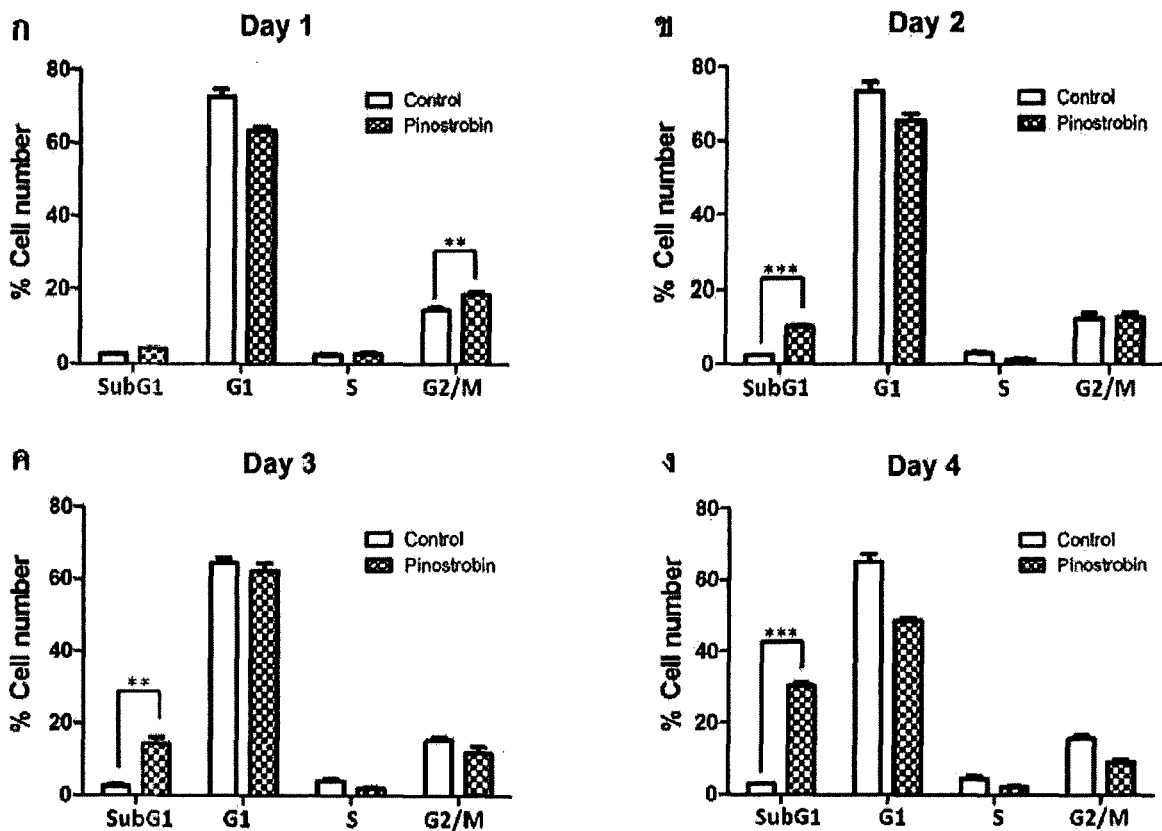
ภาพที่ 7 ผลของพิโนสโตรบินที่มีต่อรูปแบบวัฏจักรการแบ่งเซลล์ของเซลล์มะเร็ง KATOIII

เลี้ยงเซลล์มะเร็ง KATOIII ความเข้มข้น 1.25×10^5 เซลล์ต่อห้อง ในอาหารที่เติม 100 ไมโครโนลาร์ พิโนสโตรบิน (กราฟแท่งลายจุด) หรือ ไม่เติม (กลุ่มควบคุม: กราฟแท่งสีขาว) ปัม 37 องศาเซลเซียส บรรยากาศ CO_2 ร้อยละ 5 เก็บตัวอย่างเซลล์ทุกวัน ($g - g$) นาน 4 วัน วัดปริมาณเซลล์ในระยะต่าง ๆ ของวัฏจักรการแบ่งเซลล์ ด้วยเครื่อง Flow cytometer *, **, *** มีความแตกต่างจากกลุ่มควบคุมอย่างมีนัยสำคัญที่ $P < 0.05$, $P < 0.01$ และ $P < 0.001$ ตามลำดับ

ตารางที่ 6 ผลของพิโนสไทรบินที่มีต่อจำนวนประชากรของเซลล์มะเร็ง KATOIII ในระยะต่าง ๆ

กลุ่ม (ชั่วโมง)	ระยะเวลาปั่น	จำนวนเซลล์			
		Sub G1	G1	S	G2/M
กลุ่มควบคุม (ไม่เติมพิโนสไทรบิน)	24	1.2±0.1	41.0±0.9	29.9±2.0	16.3±1.2
	48	0.8±0.1	49.4±3.5	6.6±1.3	19.8±1.4
	72	0.7±0.1	51.7±2.4	4.0±0.4	21.5±1.7
	96	1.9±0.7	56.1±2.1	3.7±0.3	18.6±1.7
พิโนสไทรบิน (100 ไมโครกรัม/ลิตร)	24	1.0±0.1	50.1±4.3*	19.6±3.6	18.3±0.7
	48	1.0±0.1	50.1±2.2	4.4±0.4	27.5±5.1**
	72	0.9±0.0	48.8±1.3	3.0±0.1	29.2±0.7**
	96	2.3±0.4	49.6±2.3	3.1±0.2	31.4±0.6***

* , ** , *** มีความแตกต่างกับกลุ่มควบคุมอย่างมีนัยสำคัญที่ $P<0.05$, $P<0.01$ และ $P<0.001$ ตามลำดับ



ภาพที่ 7 ผลของพินสโตรบินที่มีต่อรูปแบบวัฏจักรการแบ่งเซลล์ของเซลล์มะเร็ง BT474

เลี้ยงเซลล์มะเร็ง BT474 ความเข้มข้น 1.25×10^5 เซลล์ต่อห้อง ในอาหารที่เติม 120 ไมโครโมลาร์ (ประมาณ 2 เท่า IC₅₀) พินสโตรบิน (กราฟแท่งลายจุด) หรือ ไม่เติม (กลุ่มควบคุม: กราฟแท่งสีขาว) บ่ม 37 องศาเซลเซียส บรรยายกาศ CO₂ ร้อยละ 5 เก็บตัวอย่างเซลล์ ทุกวัน (ก - ง) นาน 4 วัน วัดปริมาณเซลล์ ในระยะต่าง ๆ ของวัฏจักรการแบ่งเซลล์ ด้วยเครื่อง Flow cytometer **,*** มีความแตกต่างกันอย่างมีนัยสำคัญที่ P<0.05 และ P<0.0001 ตามลำดับ

ตารางที่ 7 ผลของพินสโตรบินที่มีต่อจำนวนประชากรของเชลล์มะเร็ง BT474 ในระยะต่าง ๆ

กลุ่ม (ชั้นอายุ)	ระยะเวลาปัจจุบัน	จำนวนเซลล์			
		Sub G1	G1	S	G2/M
กลุ่มควบคุม (ไม่เติมพิโนส ไทรบิน)	24	2.6±0.2	72.7±3.3	2.4±0.5	14.3±1.1
	48	2.5±0.2	73.5±4.3	3.2±0.6	12.4±2.4
	72	2.6±0.9	64.4±2.6	4.0±1.0	15.4±1.3
	96	3.1±0.0	65.1±4.0	4.5±1.4	15.7±1.7
พิโนสไทรบิน (120 ไมโครกรัม ลาร์)	24	4.2±0.2	63.2±1.9	2.6±0.9	18.5±0.9**
	48	10.2±0.8***	65.7±3.2	1.3±0.4	12.8±1.7
	72	14.4±2.9**	62.2±3.8	2.1±0.5	11.9±3.0
	96	30.2±1.7***	48.5±1.6	2.2±0.5	9.2±1.3

, * หมายความแตกต่างกับกลุ่มควบคุมอย่างมีนัยสำคัญที่ $P < 0.05$ และ $P < 0.0001$ ตามลาดับ

จากการทดลองในภาพที่ 5-7 และตารางที่ 5-7 พบว่า พินสโตรบินมีผลต่อเซลล์มะเร็งที่ไวต่อพิโนสโตรบินในรูปแบบที่แตกต่างกันดังนี้ พินสโตรบินส่งผลให้เซลล์มะเร็ง Jurkat และ BT474 มีประชากรเซลล์ในระยะ subG1 ลดลงมากกว่าเมื่อไม่ได้เติมพินสโตรบินอย่างมีนัยสำคัญ ($P<0.001$ และ $P<0.0001$) โดยที่ไม่มีผลในการหยุดหรือชะลอระยะเซลล์ในระยะไดรรยะหนึ่ง ซึ่งเซลล์ที่สะสมอยู่ในระยะ subG1 บ่งบอกถึงสภาพที่เซลล์มีการแตกหักเนื่องมาจากปริมาณ DNA ต่อเซลล์มีน้อยกว่า 1 ชุด ซึ่งน่าจะเป็นการตายแบบอะพอพโทซิส

สำหรับผลของพิโนสโตรบินที่มีต่อเซลล์มะเร็ง KATOIII พนว่าเซลล์มะเร็ง KATOIII ที่เลี้ยงในอาหารที่เติมพิโนสโตรบินมีการหยุดสะสนออยู่ที่ระยะ G2/M มากกว่าเซลล์ในกลุ่มควบคุม อย่างมีนัยสำคัญ ($P<0.001$)

จากผลการทดลองทั้งหมด แสดงให้เห็นว่าพิโนสโตรบินมีกลไกการออกฤทธิ์ต่างกันในการต้านการเพิ่มจำนวนเซลล์มะเร็งต่างชนิดกัน สำหรับกลไกในเชิงลึก จำเป็นที่จะต้องทำการศึกษาต่อไป

สรุปผลการทดลอง

1. พิโนสโตรบินมีฤทธิ์ต้านการเพิ่มจำนวนเซลล์ในเซลล์ไลน์มะเร็งหลาຍชนิด ได้แก่ เซลล์ไลน์มะเร็งเม็ดเลือดขาวชนิด Jurkat เซลล์ไลน์มะเร็งกระเพาะอาหาร KATOIII และ เซลล์ไลน์มะเร็งเต้านม BT474 ด้วยค่า IC_{50} 51.2, 24.7 และ 61.9 ไมโครโมลาร์ ตามลำดับ โดยเซลล์ไลน์มะเร็งกระเพาะอาหาร KATOIII มีความไวต่อพิโนสโตรบินมากที่สุด
2. การใช้ Liposome ชนิดคลอเรสเทอโรลเพื่อบรรจุพิโนสโตรบิน (LipoPino) ที่อัตราส่วนระหว่างพิโนสโตรบิน : Liposome 1:20 เป็นอัตราส่วนที่เหมาะสม โดยในอัตราส่วนดังกล่าว ไลโปโซมสามารถบรรจุพิโนสโตรบินเข้าไปได้ ร้อยละ 83 จากปริมาณตั้งต้น (% pinostrobin loading efficiency)
3. จากการศึกษาเบรียบเทียบรูปร่างและขนาดของ LipoPino กับ Liposome ที่อยู่ภายใต้เซลล์ไลน์มะเร็ง KATOIII ด้วยกล้องจุลทรรศน์อิเล็กตรอนแบ่งสองฝ่าย (Transmission Electron Microscope: TEM) พบว่า LipoPino มีขนาด รูปร่าง ตลอดจนลักษณะภายในที่ใกล้เคียงกับของ free liposome กล่าวคือ มีขนาดที่หลากหลาย พบรูปแบบ vesicle ที่มีขนาดใหญ่มาก สามารถมองเห็นโครงสร้างภายในมีการจัดเรียงเป็นหลาย ๆ ชั้นซ้อนกัน (multilamellar vesicle) ซึ่งอาจเป็นชั้นของ lipid bilayer รูปร่างของ vesicle ที่พบรูปแบบนี้ สรุปได้ว่ามีรูปร่างค่อนข้างกลมวี คาดว่าพิโนสโตรบินซึ่งเป็นสารที่มีข้อต่อจะเข้าไปอยู่ที่ชั้นไขมันของไลโปโซมของ LipoPino

4. การใช้ Liposome ชนิดคลอเรสเทโรอลเพื่อช่วยนำเข้ายาหรือสารออกฤทธิ์ ไม่เหมาะกับเซลล์ไลน์มะเร็งบางชนิด ใน การศึกษานี้พบว่า Liposome ประจุบวกชนิดคลอเรสเทโรอล มีความเป็นพิษสูงต่อเซลล์ไลน์มะเร็งเต้านม BT474 และเซลล์ไลน์มะเร็งลำไส้ใหญ่ SW620
5. การใช้ Liposome เพื่อนำพิโนสโตรบินเข้าเซลล์ ช่วยเพิ่มประสิทธิภาพของพิโนสโตรบินในการต้านการเพิ่มจำนวนเซลล์มะเร็งในเซลล์ไลน์ Jurkat เซลล์ไลน์ KATOIII และ เซลล์ไลน์ HepG2 ได้ดีขึ้น 2.7 -20 เท่า ซึ่งอยู่กับชนิดของเซลล์ไลน์ โดยได้ผลดีที่สุดกับเซลล์ไลน์ HepG2
6. จากการศึกษาในเซลล์ไลน์ที่ໄວต่อพิโนสโตรบิน พบร่วมกันว่าพิโนสโตรบินมีผลทำให้เซลล์ไลน์มะเร็งเม็ดเลือดขาวชนิด Jurkat และเซลล์ไลน์มะเร็งเต้านม BT474 มีการสะสมอยู่ที่ระยะ SubG1 สำหรับในเซลล์ไลน์มะเร็งกระเพาะอาหาร KATOIII พิโนสโตรบินมีผลทำให้เซลล์หยุดอยู่ในระยะ G2/M แสดงให้เห็นว่า พิโนสโตรบินมีกลไกในระดับโมเลกุลที่ต่างกันในการต้านการเพิ่มจำนวนเซลล์มะเร็งต่างชนิดกัน

เอกสารอ้างอิง

- Apiratikula N, Penglongb T, K. Suksenc, Svastib S, Chairoungduac A and Yingyongnarongkul B. In vitro delivery of curcumin with cholesterol-based cationic liposomes. Russ J Bioorg Chem, 2013;39:444-450.
- Ashidi JS, Houghton PJ, Hylands PJ, Sieber S and Efferth T. Molecular mechanism of action of the flavanone pinostrobin from Cajanus cajan leaves in cancer cells. Planta Med, 2007;73(9):855-855.
- Bachrach U, Wang Y-C: Cancer therapy and prevention by green tea. Role of ornithine decarboxylase. Amino Acids, 2002;22:1-13.
- Bozzola JJ. Conventional Specimen Preparation Techniques for Transmission Electron Microscopy of Cultured Cells. Meth Mol Biol, 2007;369:1-18.
- Chonna A and Cullis PR: Recent advances in liposome technologies and their applications for systemic gene delivery. Adv Drug Deliver Rev, 1998;30:73-83.
- Dass CR. Improving anti-angiogenic therapy via selective delivery of cationic liposomes to tumour vasculature. International J of Pharmaceutics, 2003;(267):1-12.
- Etten EWMV, Vianen WV, Roovers P and Frederik P. Mild Heating of Amphotericin B-Desoxycholate: Effects on Ultrastructure, In Vitro Activity and Toxicity, and Therapeutic Efficacy in Severe Candidiasis in Leukopenic Mice. Antimicrob Agents Ch, 2000;44:1598-1603.

- Huang CM, Chen CH, Pornpattananangkul D, Zhang L, Chan M, Hsieh MF and Zhang L.
Eradication of drug resistant *Staphylococcus aureus* by liposomal oleic acids.
Biomaterials, 2011;32(1):214-221.
- Lee SC, Cowgill EJ, Al-Nabulsi A, Quinn EJ, Evans SM and Reese BE. Homotypic regulation of neuronal morphology and connectivity in the mouse retina. *The Journal of neuroscience*.
J Neurosci, 2011;31(40):14126-14133.
- Li L, Ahmed B, Mehta K and Kurzrock R. Liposomal curcumin with and without oxaliplatin: effects on cell growth, apoptosis, and angiogenesis in colorectal cancer. *Mol Cancer Therapeut*, 2007;6(4):1276-1282.
- Liolios CC, Gortzi O, Lalas S, Tsaknis J and Chinou I. Liposomal incorporation of carvacrol and thymol isolated from the essential oil of *Origanum dictamnus* L. and in vitro antimicrobial activity, *Food Chem* 2009;112(1):77-83.
- Mehta RT, Hopfer RL, Gunner LA, Juliano RL and Lopez-Berestein G. Formulation, Toxicity, and Antifungal Activity In Vitro of Liposome-Encapsulated Nystatin as Therapeutic Agent for Systemic Candidiasis. *AAC*, 1987;31:1897-1900.
- Mosmann T. Rapid Colorimetric Assay for Cellular Growth and Survival: Application to Proliferation and Cytotoxicity Assays. *J Immunol Methods*, 1983;65:55-63.
- Newman DJ and Cragg GM. Natural Products as Sources of New Drugs over the Last 25 Years. *J Nat Prod*, 2007; 70:461-477.
- Sastry N. Urbanization, development and under-five mortality differentials by place of residence

Zhu L and Mahato RI. Lipid and polymeric carrier-mediated nucleic acid delivery. Expert Opin

Drug Del, 2010;7(10):1209-1226.

กิตติกรรมประกาศ

งานวิจัยนี้ได้รับการสนับสนุนทุนวิจัยจากกองทุนวิชาการน้ำชาติ TSB2014 ที่มหาวิทยาลัยแม่ฟ้า

ปีงบประมาณ

2555

(R_017_2555)

Output

1. งานวิจัยนี้ได้ถูกนำเสนอผลงานในการประชุมวิชาการนานาชาติ TSB2014 ที่มหาวิทยาลัยแม่ฟ้าหลวง ที่จัดขึ้นระหว่าง 26-29 พฤศจิกายน 2557 ในหัวข้อ Anti-proliferation activity of pinostrobin from *Boesenbergia pandurata* and its efficacy improvement using cationic liposome on human cancer cell lines โดยได้รับรางวัล Best Proceeding Paper Award
2. Sopanaporn J, Apirattikul N, Palaga T, Yingyongnarongkul B and Yompakdee C. Efficacy improvement on anti-proliferation activity of pinostrobin, a flavanone from *Boesenbergia pandurata*, by a cationic liposome. Manuscript in preparation.